

UDC 629.73.017.1 :
629.73.077-526

航空宇宙技術研究所資料

TECHNICAL MEMORANDUM OF NATIONAL AEROSPACE LABORATORY

TM-250

自動着陸用多重サーボ機構について

小川 鑑一・堀川 勇壮
渡辺 顯・永安 正彦

1973年11月

航空宇宙技術研究所
NATIONAL AEROSPACE LABORATORY

自動着陸用多重サーボ機構について*

小川鉄一**・堀川勇壮**
渡辺頴**・永安正彦**

Experimental Studies on Multiplex Servo System for Automatic Landing System

By Koichi OGAWA, Yuso HORIKAWA, Akira WATANABE
and Masahiko NAGAYASU

This paper describes an experimental and fundamental studies of multiplex elevator servo system for an automatic landing system.

This multiplex system is a non-disconnecting redundant triplex system without any failure detectors, and each subsystem consists of vertical gyro, rate gyro, autopilot computer and control surface actuator.

The performance tests and failure analysis of this triplex system have been conducted, using a rig test stand which has control rigs and control apparatus of an experimental aircraft.

From the results of failure analysis, the fundamental design data about the non-disconnecting redundant system were obtained. Moreover it was cleared that even if one channel in the system failed, the multiplex system works well but generates a small error of the control output.

1. まえがき

航空機の自動着陸装置は、非常に高い信頼性および安全性が要求される。現状の技術では、単一の系で、人間が持っている信頼性以上の信頼性を期待することはできない。したがって、複数の装置を並列に作動させる多重化システムなどの冗長性を取り入れることによって、高い信頼性を得ることが必要である。

本自動着陸用多重サーボ機構は、自動着陸装置に要求される高い信頼性、安全性を有するシステムの研究を行なうこととする目的として製作したものである。

本多重サーボ機構の構成は、同一のオートバイロット3系統よりなり、各系統はセンサとしてパーティカルジャイロとレートジャイロ、計算増幅器、舵面駆動用のサーボモータおよび負荷に加わるトルクを測るトルクメータからなる。これらの他に本システムをモニタおよび総括制御が行なえる計測制御盤がある。舵面を駆動するまでの系統は3重系であるが、サーボモータと舵面との間で1重系（すなわち3台のサーボモ-

タ出力で1軸の舵面を駆動する）になっている。

本自動着陸用多重サーボ機構は、双発ビジネス機ビーチクラフト社クイーンエアモデル65に装着することを前提にして開発したもので、下記の研究を行なうことができる。

- (1) 多重サーボ機構の研究
- (2) オートバイロット機能試験
- (3) 自動着陸制御装置の予備試験研究
- (4) 各構成装置の単体機能試験
- (5) その他

以下に、本自動着陸用多重サーボ機構の構成、単体機能試験および多重サーボ系の実験等について述べる。

2. 自動着陸用多重サーボ機構の構成と諸元

2.1 構成

図2.1は本自動着陸用多重サーボ機構の構成ブロック線図である。図中の検出器部（パーティカル・ジャイロ、レート・ジャイロ）は、航空機の姿勢角ならびに姿勢角速度を検出するもので、地上試験ではフライ・テーブル¹⁾に搭載し模擬姿勢角および姿勢角速度

* 昭和48年8月28日受付

** 計測部

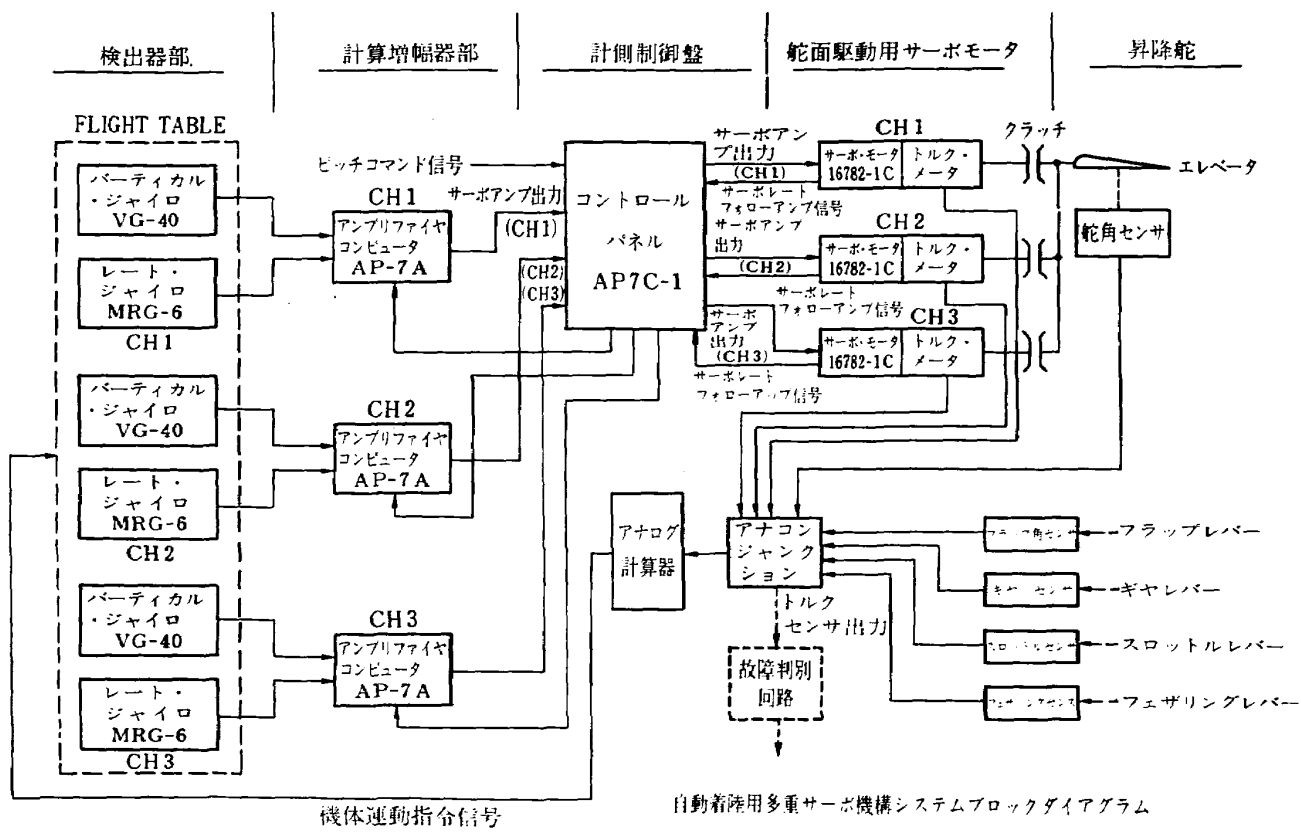


図 2.1 自動着陸用多重サーボ機構ブロック・ダイヤグラム

を検出するものである。計算増幅器（アンプリファイヤ・コンピュータ）は検出器の信号を受け、これを計算増幅して舵面駆動用のサーボモータを動かす信号を発生する。サーボモータは、トルクメータおよびサーボマウント（図 2.4.1 参照）に直結され、サーボマウントの出力軸が素でテスト・リグ²⁾のエレベータ駆動用セクタに接続されている。

なお、ライト・テーブルを駆動する信号は、機体運動を模擬したライト・シミュレータより得る。

2.2 各部機能と諸元

2.2.1 検出器

検出器は航空機の姿勢を検出する姿勢角検出器と航空機の縦揺れ角速度を検出する角速度検出器からなる。

(1) 姿勢角検出器（パーティカル・ジャイロ）

姿勢角検出器は航空機のピッチ角およびロール角を検出し、この角度に相当する信号を発生する機能を有する。構造はジャイロ、電解スイッチ、トルカ利用自立装置、水銀スイッチによるレート検出オートシンクロ、その他リレー回路などが組みこまれたものである。図 2.2.1 は本姿角検出器の写真である。本検出器の自立装置は電解スイッチが傾くことによる抵抗変化を利用し、トルカーのトルクを操作して自立作用を行なわせている。水銀スイッチは旋回中のロール信号の誤差

をなくすために、規定旋回速度以上になるとロール方向の出力がフリージャイロ出力と同じものとなる様に自立装置に働きかける。定常状態においてジャイロが傾くと、その角度に比例した信号が各ジンバル（ロール、ピッチ）に取り付けられたオートシンクロより得られる。要目、性能は下記のとおりである。

要 目

- a. 外形寸法 約 $112 \phi \times 153.7$ mm
- b. 重量 2.3 kg
- c. 電源 115 V, 400 Hz, 1 φ
- d. 型番 VG-40

性 能

- a. 測定範囲 ロール $\pm 85^\circ$, ピッチ $\pm 65^\circ$
- b. 傾斜感度 ロール 200 mV/deg,
ピッチ 200 mV/deg
- c. 自立速度 正常 $1^\circ \sim 3^\circ 45'/min$
急速 $15^\circ/min$
- d. 自立精度 $\pm 1\%$
- e. ドリフト $0.4^\circ/min$
- f. 自立カット 9° (ピッチおよびロール)

(2) 角速度検出器（レート・ジャイロ）

角速度検出器は航空機の角速度変化を検出し、これに相当する信号を発生する機能を有するものである。構造はレート・ジャイロ、リアクタコネクタ、コンデ

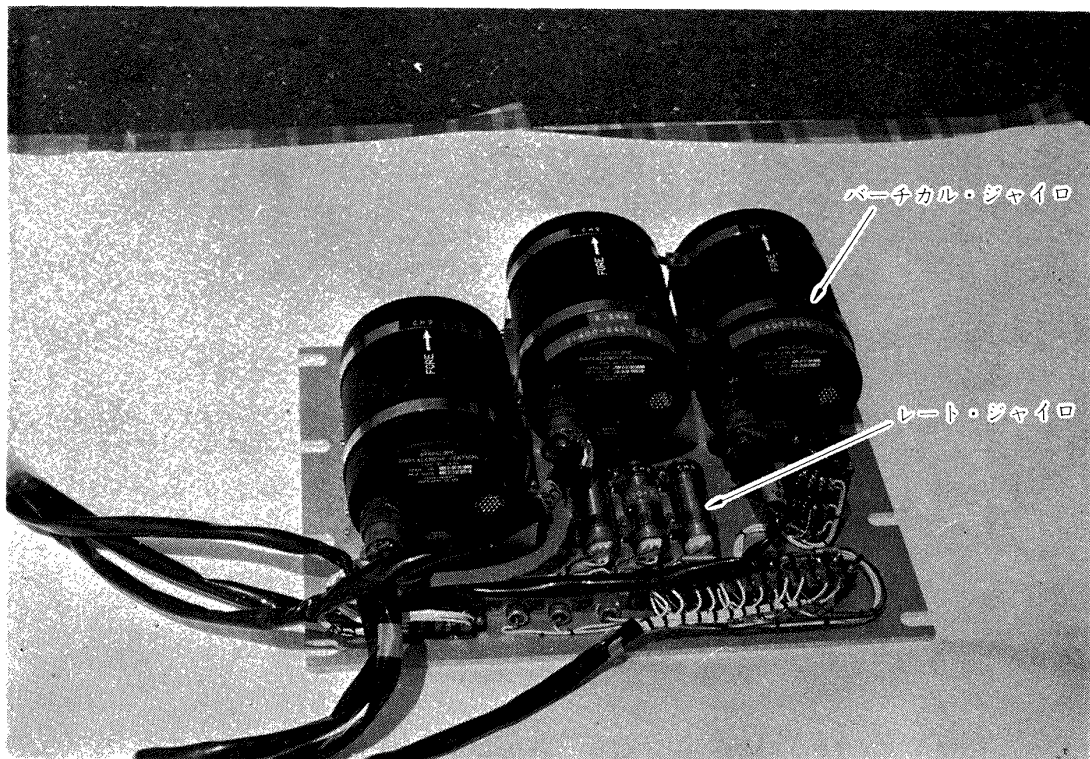


図 2.2.1 パーティカルジャイロとレート・ジャイロ

ンサ、抵抗などが組み込まれた小型のもので、その写真を図 2.2.1 に示してある。動作原理は入力角速度に比例しておこるジャイロ・プレセッションのトルクとトーションバーの反トルクとを釣り合わせ、その変位をマイクロシンにより検出するようになっている。要目、性能は下記のとおりである。

要 目

- a. 外形寸法 $25.4 \phi \times 72.7 \text{ m/m}$
- b. 重 量 250 g 以下
- c. 電 源 26 V, 400 Hz, 1 ϕ
- d. 型 番 MRG-6

性 能

- a. 測定範囲 $\pm 40^\circ/\text{sec}$
- b. 直 線 性 0.5% ($0 \sim 10^\circ/\text{sec}$ 迄)
5% ($10^\circ/\text{sec} \sim 40^\circ/\text{sec}$)
- c. 旋回感度 140 mV/deg/sec
- d. 最 小 感 度 0.05% of Full Scale
- e. 個有振動数 21 Hz

2.2.2 計算増幅器 (アンプリファイア・コンピュータ)

本計算増幅器は姿勢角検出器、角速度検出器あるいは機体の運動をシミュレートしたライト・シミュレータからの信号を受け、計算増幅し、エレベータ駆動用サーボモータを駆動させるものである。本計算増幅器は IC、トランジスタ回路で構成されたモジュール

構成で、計算増幅器ケースはアルミニウム合金材を主に造られている。ケース後面には接続コネクタ、前面にはサーキットブレーカおよびテストコネクタが配置され、後部にパワーサプライが取りつけられ、必要な電源を供給する。計算増幅器の写真を、図 2.2.2 に示す。



図 2.2.2 アンプリファイア・コンピュータ

本器を構成する主なモジュールはアイソレーションモジュール、コンピューティングモジュール、サーボドライバモジュール、パワーサプライモジュールからなる。以下これらのモジュールについて説明する。

(1) アイソレーションモジュール

各検出器からの信号を分離するための変圧器、利得

調整用のポテンショメータおよびバッファアンプによる。このバッファアンプは負荷変動の影響をなくすものである。

(2) コンピューティングモジュール

各信号を交流より直流に変換する復調器、信号を加算増幅する加算増幅器による。(復調器および加算増幅器の直線性、ドリフトはそれぞれ 1% および 0.2 ~ 0.3%) である。なお、出力端にはテストポイントを設け、外部よりモニタが可能であるようにした。

(3) サーボドライブモジュール

(2) 項のコンピューティングモジュールより信号を受け利得 400 倍の増幅器で増幅し、舵面サーボモータを駆動する信号を作る。

(4) パワーサプライモジュール

計算増幅器、舵面サーボ、姿勢角検出器および角速度検出を駆動するのに必要な電源を作るもので、下記の電圧、電流を発生する。

26 V	400 Hz	2 A
18 V	400 Hz	0.3 A
20 V	(Peak to peak) 400 Hz 矩形波	0.8 A
46 V	DC Unfiltered	2.7 A
+15 V	DC Filtered	1 A
-15 V	DC Filtered	1 A

計算増幅器の要目は次のとおりである。

- a. 外形寸法 200(縦)×125(横)×560(奥行)m/m
- b. 重 量 6.3 kg
- c. 電 源 115 V AC, 400 Hz, 1 φ

2.3 計測制御盤およびフライト・シミュレータ中継箱

計測制御盤は自動着陸用多重サーボ機構の総括制御、各部信号のモニタが容易に行なえるように設計したものである。またフライト・シミュレータ中継箱は機体運動をシミュレートするフライト・シミュレータと多重サーボ機構との信号受け渡しを容易にするためのものである。

2.3.1 計測制御盤

計測制御盤を図 2.3.1 に示す。本計測制御盤には、電源オンオフスイッチ、電圧調整用スライダック、モニタ用電流電圧計、時間計、システム信号モニタ端子、モニタ用測定メータ、ピッチトリム計、バッファアンプが取り付けられている。本計測制御盤の機能を列記すると、

- (1) 3 系統の電源を系統ごとに独立に制御できる。
- (2) 3 系統のサーボモータ電磁クラッチを手動で

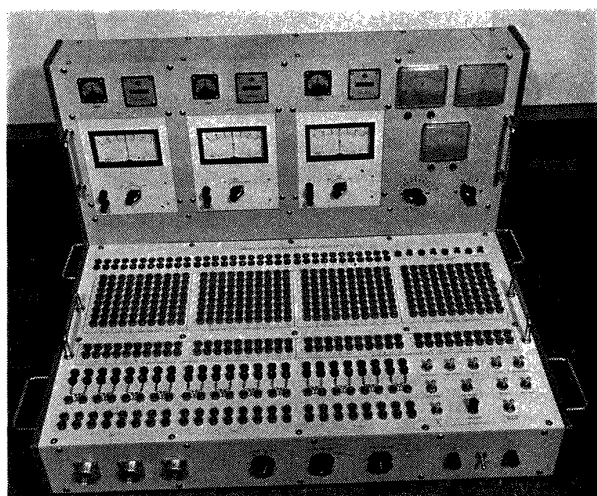


図 2.3.1 計測制御盤

系統ごとに独立に制御できる。

- (3) 3 系統のサーボモータ電磁クラッチを直流または直流 28 V で外部制御回路から、操作ができる。
- (4) 計算増幅器からの信号を本パネル上で容易にモニタできる。
- (5) 各モニタ信号記録用のバッファアンプを内蔵してある。

要目は下記に示すとおりである。

- a. 外形寸法 468(縦)×720(横)×524(奥行)m/m
- b. 重 量 25 kg
- c. 電 源 115 V 400 Hz 1 φ
100 V 50 Hz
28 V DC Filtered
+15 V DC Filtered
-15 V DC Filtered

2.3.2 フライト・シミュレータ中継箱

本フライト・シミュレータ中継箱はフライト・シミュレータと多重サーボ機構の電気信号を結合する中継箱で、50 個の信号端子が設けられている。このほかにこのパネル面にはテスト・リグの各舵角信号、フラップ角信号、降着装置 (Landing Gear) 信号およびサーボ出力軸のトルク出力信号の各端子があり、これら信号の中継、計測が容易に行なえるようになっている。図 2.3.2 にフライトシミュレータ中継箱を示す。要目は下記のとおりである。

- a. 外形寸法 226(縦)×232(横)×85(高さ) m/m
- b. 重 量 2 kg

2.4 舵面駆動用サーボモータおよびサーボマウント

本サーボモータおよびサーボマウントは PB-605 型オートパイロット用のものである。サーボモータはサ

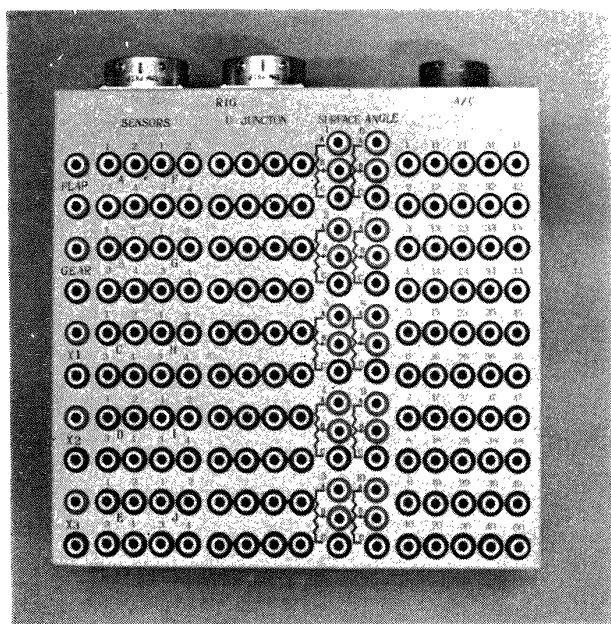


図 2.3.2 フライト・シミュレータ中継箱

ーボマウントに取り付け、エレベータ系統からの信号に応答して機体姿勢を制御するためのトルクを舵面に加えるものである。これらを図 2.4.1 に示す。

2.4.1 舵面駆動用サーボモータ

本サーボモータは軽量化を目的としたマグネシウム合金鑄物アクチュエータハウジング内に、(a) 2相モータジェネレータ、(b) ギヤトレイン（減速比 1:287.5），

(c) バックラッシュギヤ（減速比 1:2.5）、(d) フォローアップオートシン、(e) 電磁クラッチ (28 V DC で作動)，および (f) ストールトルク調整用の抵抗、キャパシタよりなる。性能および要目は下記のとおりである。

性 能

モータ

- a. ストールトルク $204 \pm 10 \text{ lb-in}$
- b. 無負荷回転数 12 rpm (出力軸端にて)
- c. 消費電力 (ストール時)

固 定 相 115 V, 400 Hz, 0.25~0.33 A

制 御 相 43.5 V, 400 Hz, 0.87~1.23 A

クラッチ 28 V, DC, 0.3 A 以上

トルク伝達 254 lb-in 最小

オートシン・シンクロ (フォローアップ)

励 磁 26 V, 400 Hz.

出 力 信 号 0.08 V/deg (出力軸)

レートジェネレータ

励 磁 115 V, 400 Hz,

出 力 信 号 27 mV/deg/sec (出力軸)

要 目

a. 外形寸法 250(縦)×140(横)×138(高さ)m/m

b. 重 量 3.5 kg 以下

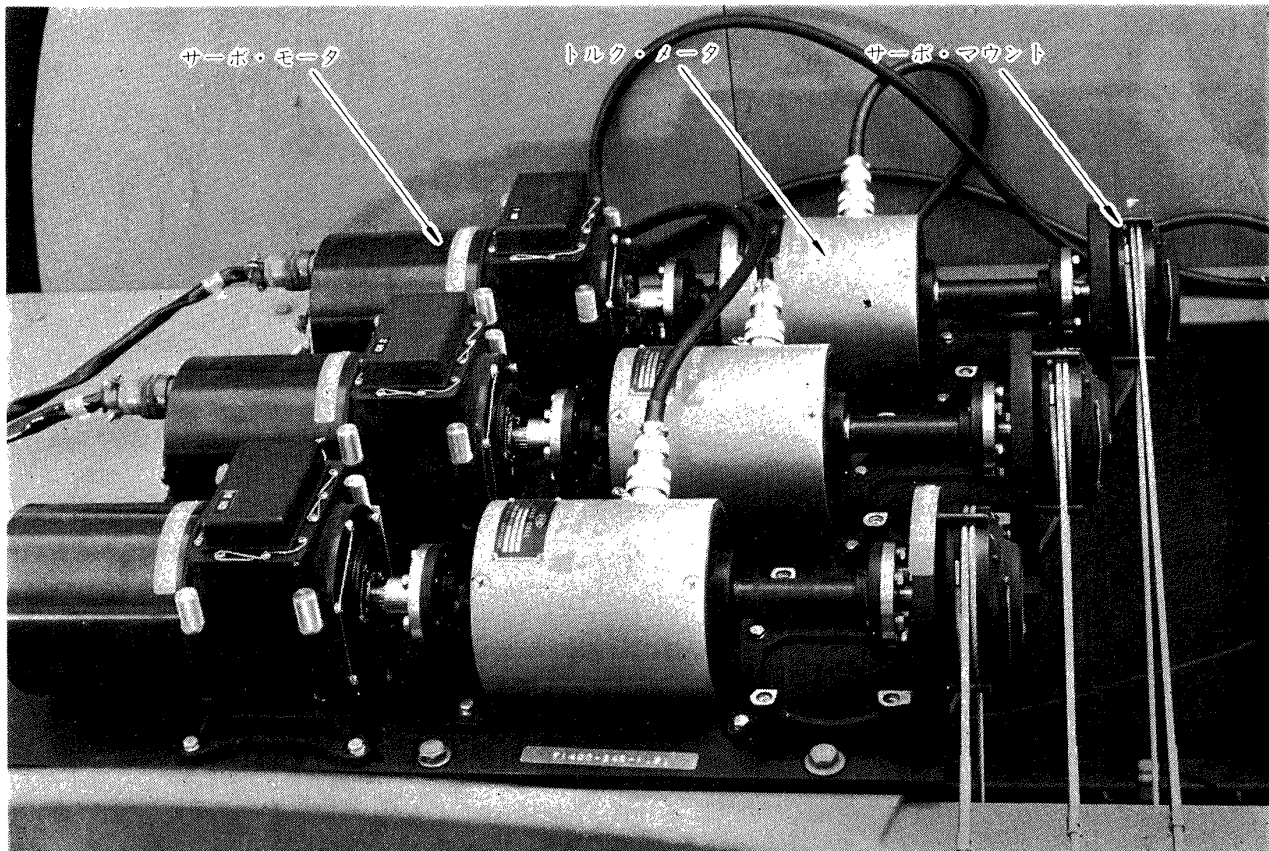


図 2.4.1 サーボ・モータ、トルクメータおよびサーボマウント

c. 電 源 115 V, AC, 400 Hz, 1 φ
26 V, AC, 400 Hz, 1 φ
28 V, DC

d. 型 番 16782-1C

2.4.2 サーボマウント

サーボマウントは舵面駆動用サーボモータの取付台で、モータの回転を航空機の制御ケーブルに伝える機能、および過負荷を保護するスリップ・クラッチを有している。

構成は (a) サーボモータ出力端と機械的に連結するインターナル・スライイン・シャフト、(b) 過度の負荷 (250~300 lb-in) を避けるためのカーボン・ディスク・スリップ・クラッチ、(c) 機体舵面にトルクを伝えるケーブル支持用サーボブーリ、および (d) 舵面サーボモータの取付台であるアルミ鋳物製のハウジングよりなる。要目は下記のとおりである。

a. 外形寸法 159(縦)×120(横)×119(高さ) mm/m

b. 重 量 1.2 kg 以下

2.5 トルク検出器

本トルク検出器はひずみゲージ応用トルクトランスジューサであり、舵面駆動用サーボモータの出力端トルクを測定するものである。本トルク検出器を図 2.5.1 に示すようにカップリング構造に改造し、サー

ボモータとサーボマウントの中間に設置できる構造とした。性能は下記のとおりである。

- (a) 容 量 5 kg-m (感度 0.0025 kg-m/μ)
- (b) 最高回転数 6,000 r.p.m.
- (c) 測定精度 定格出力の ±0.2%
- (d) 出 力 定格時、入力 1 V に対し、出力端開放で 1 mV
- (e) 入出力抵抗 120±1 Ω

3. 多重サーボ機構の各系統試験

本多重サーボ機構を自動着陸研究用 テスト・リグ²⁾に搭載し、自動着陸の研究に関する安全性、信頼性の試験を行なう。しかし多重サーボ機構に関する試験を行なう前に、多重系を構成する単一系の特性を把握する必要があるので、本章では单一サーボ機構の諸特性の試験につき述べ、次章で多重系の試験について述べることにする。

3.1 単一サーボ機構

单一サーボ機構のブロック線図 3.1.1 に示す。計算增幅器の出力はサーボモータに送られる。サーボモータ内の出力端にはクラッチが内蔵され、クラッチの出力がサーボモータ出力軸となっている。またモータ内には、フィードバック用フォローアップとレート信号

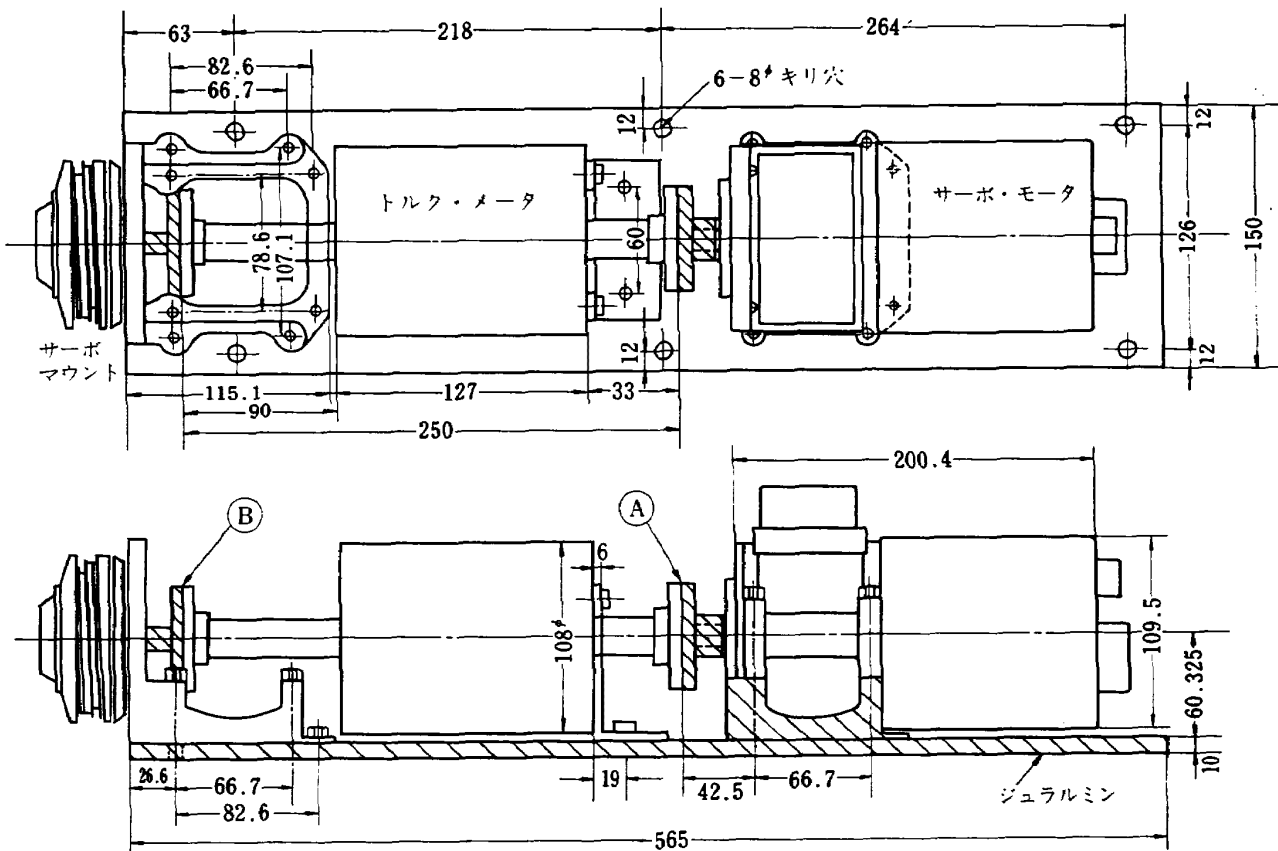
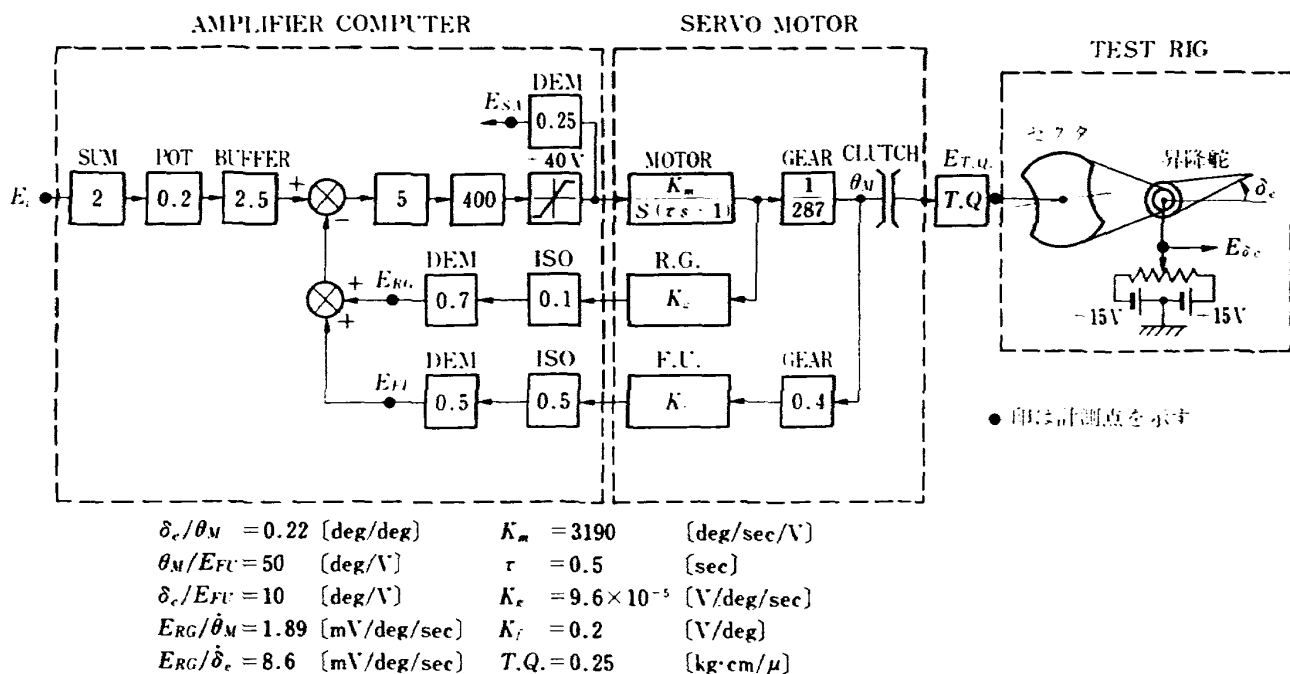


図 2.5.1 サーボ・モータ、トルクメータおよびサーボマウントの組立図



発生器がある。サーボモータ出力軸には、モータのトルク測定用歪ゲージ型トルクメータが直結され、このトルクメータの出力軸がサーボマウントに結合されている。サーボマウントの出力はテスト・リグのセクタ²⁾に結合されている。これらサーボモータ、トルクメータ、サーボマウントの接続の様子は、すでに図2.4.1、図2.5.1に示してある。

図3.1.1に示したように、計算増幅器内に±40Vの保護用リミッタが入っていて、これによる制限電圧がサーボモータ制御巻線に最大値として加わるので、このときの回転数が最大回転数となる。この最大回転数（出力軸端）は12 r.p.m.である。

本サーボ系の前向きゲインは2000倍で、かなり大きいので、サーボモータは比較的入力が小さくとも、最大回転数で回ることになる。このサーボモータ出力軸の最大回転数12 r.p.m.を角速度に換算してみると1.26 rad/sec、角度率では72.2 deg/secとなる。舵角速度に直すには、さらにテスト・リグのエレベータリンク比²⁾0.22を乗じ、結局最大舵角速度としては15.9 deg/secを得る。

この値がエレベータ舵角の最大速度で、いくら入力が大きくとも舵角は15.9 deg/sec以上の速さでは動かない。

参考のためリミッタがない場合の伝達関数を求めてみる。図3.1.1より伝達関数 $G(s)$ は

$$G(s) = \frac{\delta_e}{E_t} = \frac{9781}{s^2 + 82s + 890} \quad (3.1)$$

$$\left\{ \begin{array}{l} w_n = 29.8 \text{ rad/sec} \\ f_n = 4.75 \text{ Hz} \\ \zeta = 1.37 \end{array} \right. \quad (3.2)$$

となる。

3.2 単一サーボ機構の基本特性

単一サーボ機構の基本的特性試験としては、静特性試験および動特性試験がある。本節ではこれらの特性試験ならびにその結果について述べる。

3.2.1 静特性試験

静特性試験は図2.3.1の計測制御盤を通して、各チャンネルごとに直流入力電圧±0.2Vおきに加え、舵角 E_{de} 、フォローアップ電圧 E_{FU} 、サーボ増幅器出力電圧 E_{SA} 、レートジェネレータ電圧 E_{RG} およびトルク E_{TQ} などの各出力電圧（図3.1.1に計測点を明記）を測定する。

舵角 E_{de} は舵面の回転軸に取り付けたポテンショメータ（CP-6, 2連, 20 kΩ）に±15V直流電圧を加えた場合の出力電圧である。このとき、出力電圧 E_{de} 1Vが舵角 δ_e 3.8°に相当する。フォローアップ電圧 E_{FU} はモータ出力 θ_M を1/2.5倍し、これを1度当たり0.2Vの交流出力を出すオートシン・シンクロ（Autosyn synchro）に結び、この出力電圧をさらにアイソレートゲイン0.5倍、復調器ゲイン0.5倍したものとなる。したがって、モータ回転角 θ_M 1度当たり0.02V DCの E_{FU} 出力電圧が得られることになる。これは舵角に直すと舵角1度当たり0.91V DC出力電圧となる。レートジェネレータ電圧 E_{RG} は、舵角速

度 δ_e 1 deg/sec 当り 8.6 mV の出力電圧を発生する。サーボ増幅器出力電圧 E_{SA} はサーボモータの制御巻線の電圧と同じである。制御巻線に加わる電圧すなわち制御電圧は 400 Hz の交流であるが、これをモニタ計測に都合よくするため復調器（ゲイン 1.0）および 0.25 倍のゲイン調節器を通し、±40 V AC で飽和する値を ±10 V DC に変換し、測定する。以上述べた係数の関係をまとめて表 3.2.1 に示す。

表 3.2.1 入出力変換係数

出力/入力	変換係数
E_{FU}/E_i	1.0 [V/V]
δ_e/E_i	10.0 [deg/V]
δ_e/E_{FU}	10.0 [deg/V]
δ_e/E_{θ_M}	3.79 [deg/V]
$\dot{\delta}_e/E_{BG}$	0.116 [deg/s/mV]
$\dot{\delta}_e/\theta_M$	0.22 [deg/deg]
θ_M/E_{FU}	50.0 [deg/V]
θ_M/E_{BG}	0.53 [deg/s/mV]

試験は舵面負荷が着陸時速度 85 ノット巡航時速度 120 ノットの 2 ケースについて行なう。

速度 85 ノットの場合、各系統入力電圧 E_i に対する各部出力の値をプロットした結果を図 3.2.1 に、120 ノットの場合を図 3.2.2 に示す。

以上の結果より、フォローアップ信号は各系統とも非常によく一致し、図 3.1.1 のブロック図より得た、 $E_{FU}/E_i = 1$ の値と一致したが、舵角については、いくぶん小さくなっている。舵角の測定はサーボモータ以後のリンクエージを何段かのリンク機構を介し、ポテンショメータを回転させ、さらにこの点で機械的動きを電気信号に変換し、これを記録する方法をとっている。したがってリンクエージなどの不感帯の影響で舵角が小さめに測定されたものと考えられる。

トルクについては、各系統間に多少のバラッキが生じている。この原因を確認するため、図 3.2.3 (a), (b) に示すような実験を行なった。まず図 (a) から、トルクメータをサーボモータに取り付けた際の軸合せの度合がわかる。すなわちターンバックルをはずし、完全に無負荷の状態にしたので、もしトルクができるようなら軸合せが不完全である。軸合せの不完全さは同図 (a) より明らかなように各系統ほぼ 0.05 kg-m ほど生じているから、図 3.2.1 の最大トルクに比べると約 10% 弱の大きさに相当する。また図 3.2.3 (b) は 3 つのモータが 1 つのセクタに結合されているので、ワイヤの長短および取り付け位置による影響を測るために行なったものである。図 3.2.3 (a) の場合は

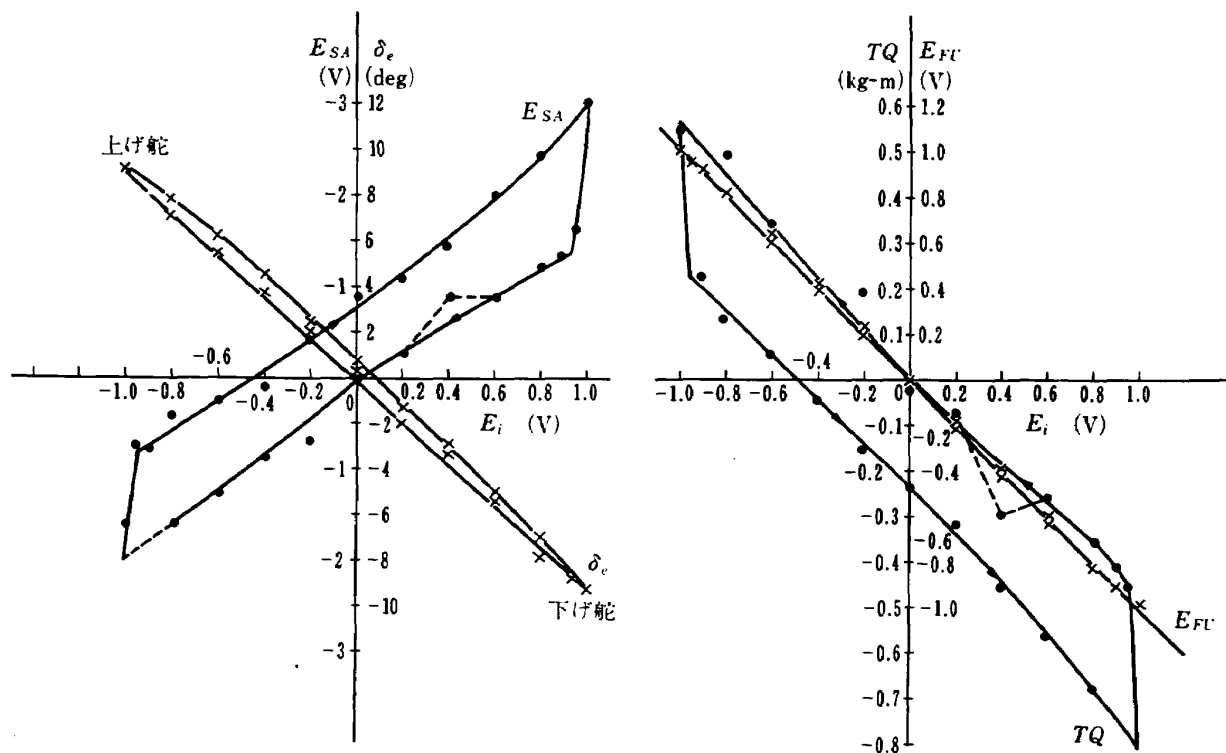


図 3.2.1(a) CH 1 静特性 (85 KT 負荷)

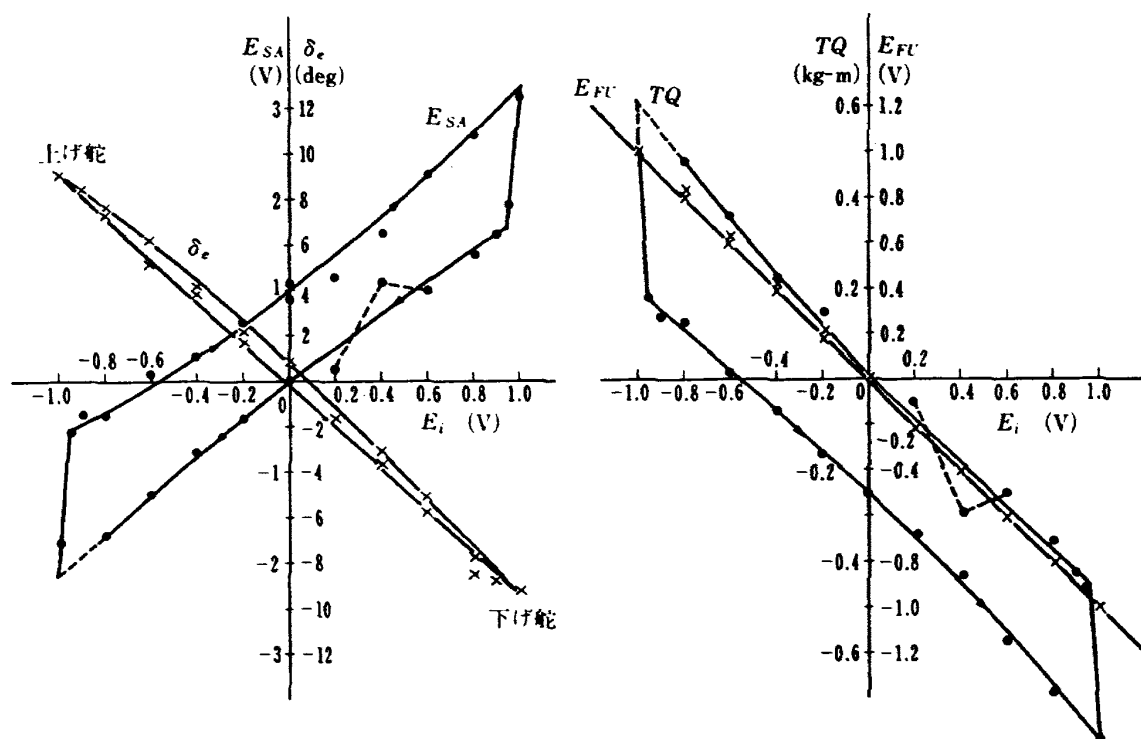


図 3.2.1(b) CH 2 静特性 (85 KT 負荷)

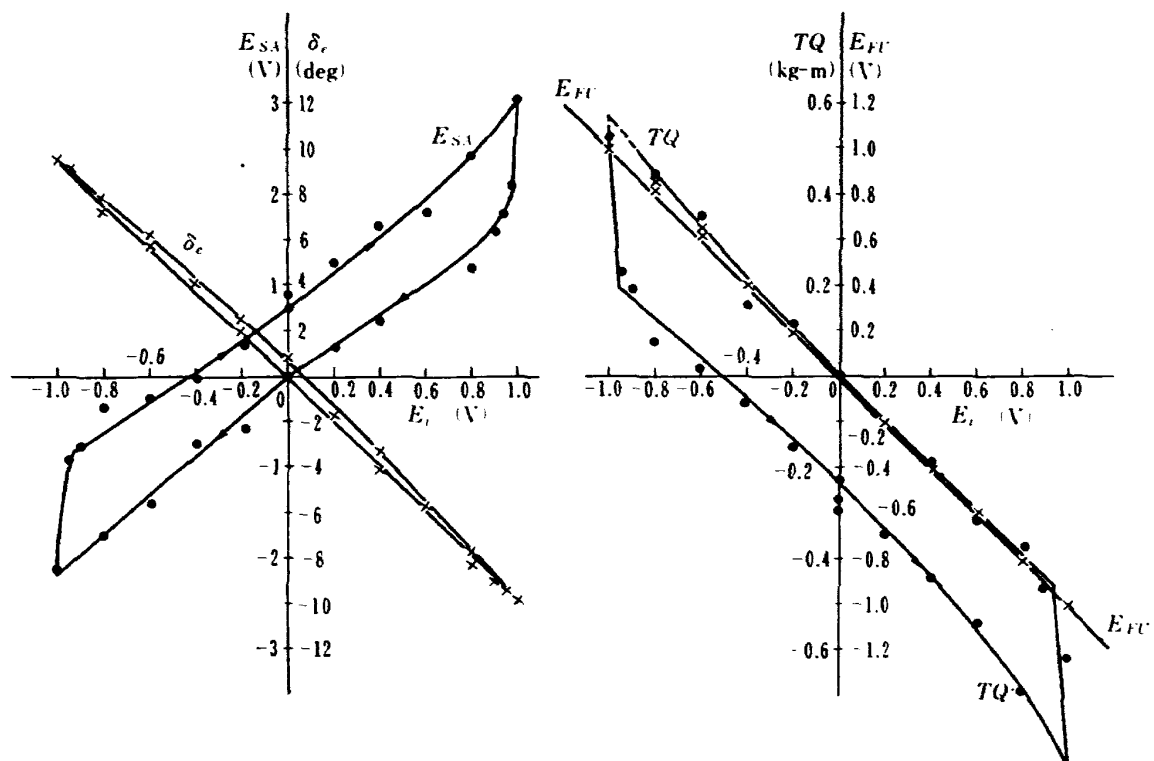


図 3.2.1(c) CH 3 静特性 (85 KT 負荷)

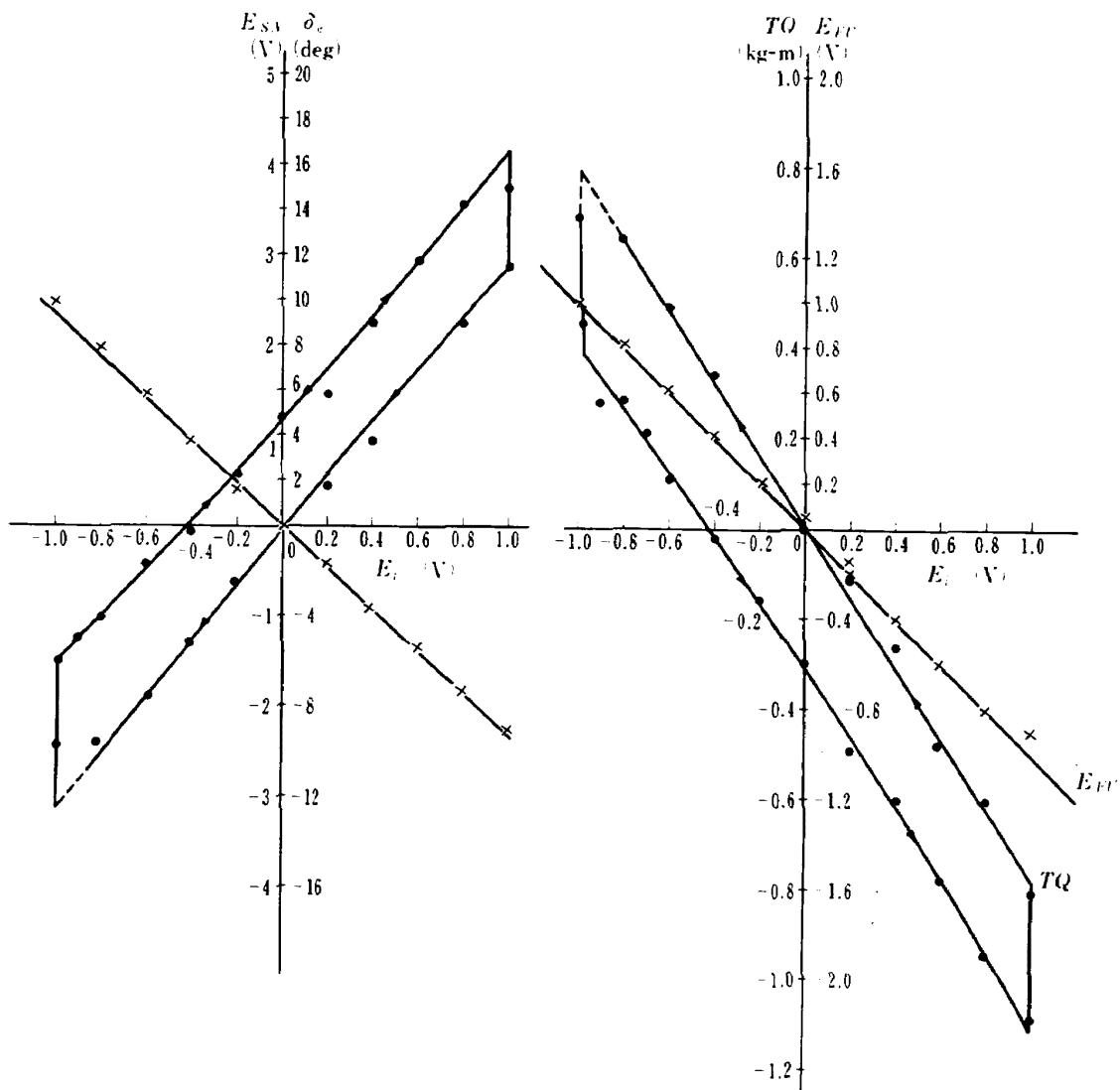


図 3.2.2(a) CH 1 静特性 (120 KT 負荷)

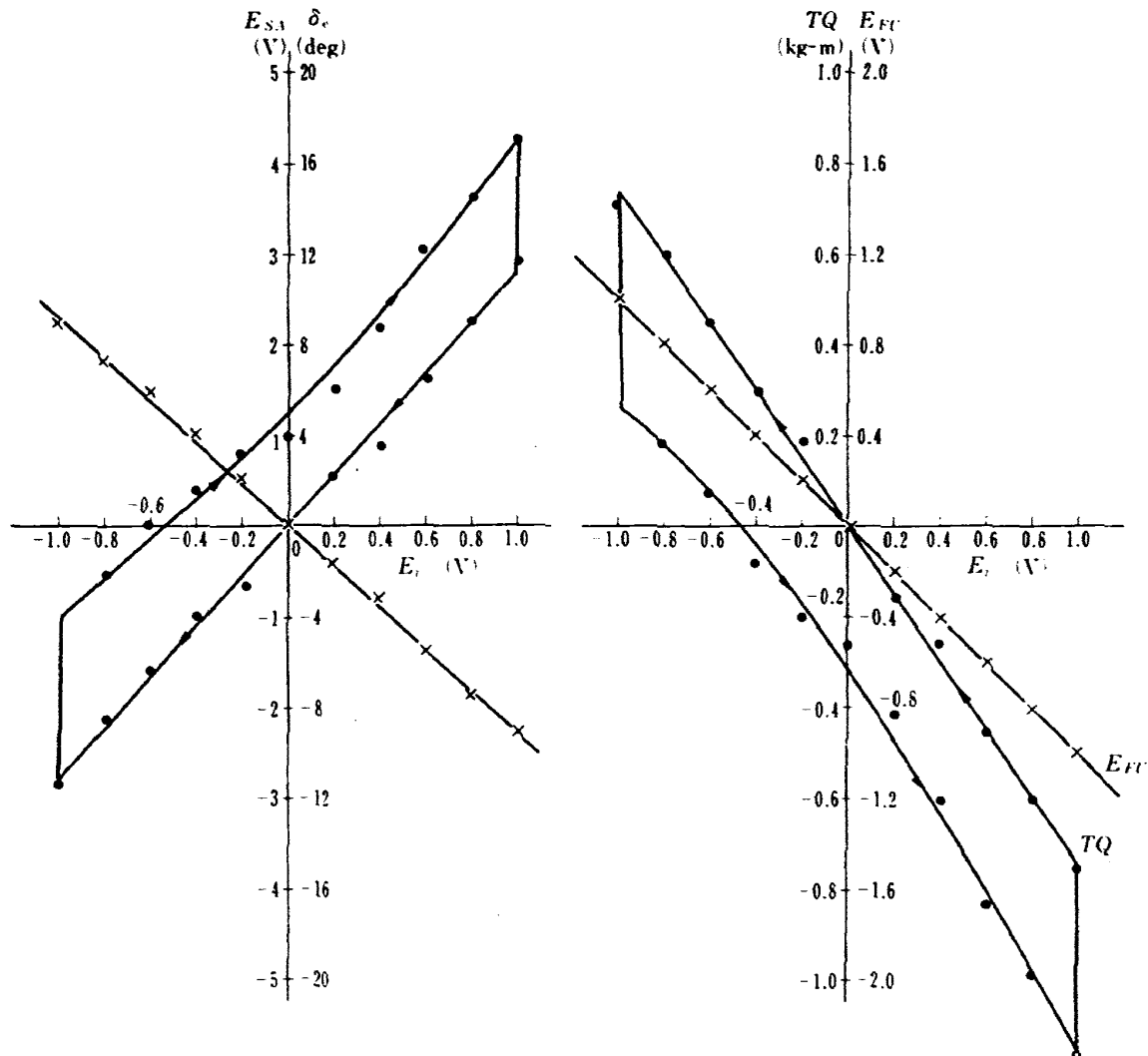


図 3.2.2(b) CH 2 静特性 (120 KT 負荷)

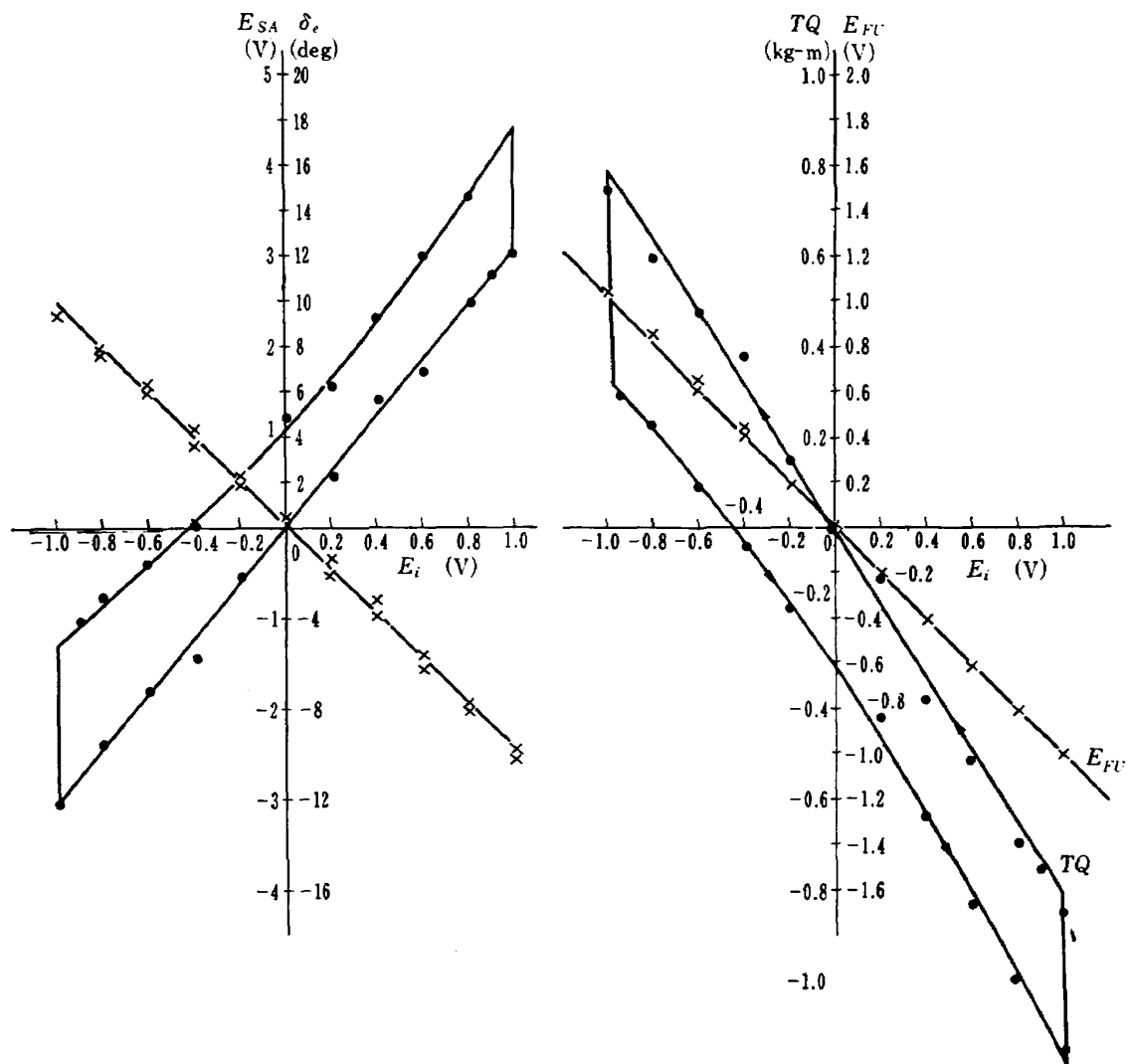


図 3.2.2(c) CH 3 静特性 (120 KT 負荷)

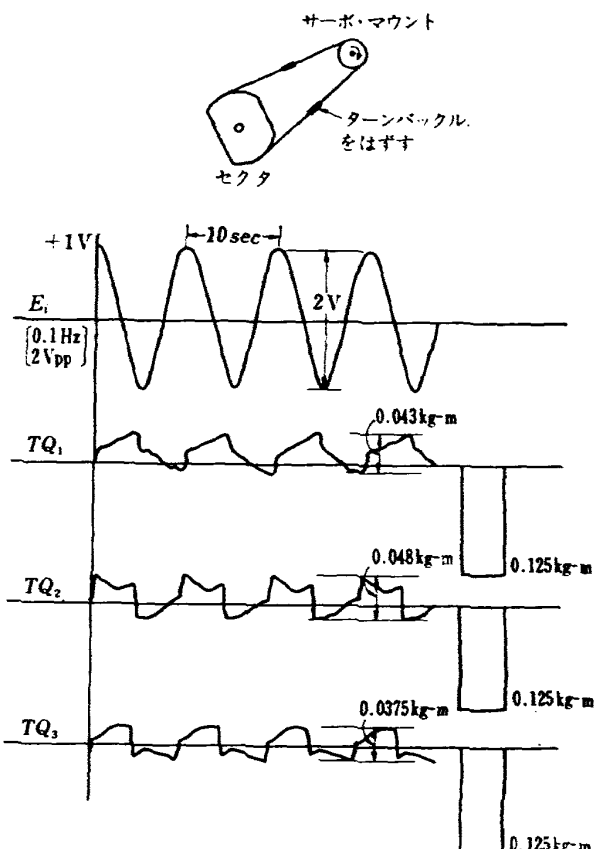


図 3.2.3(a) 完全無負荷サーボモータ出力トルク

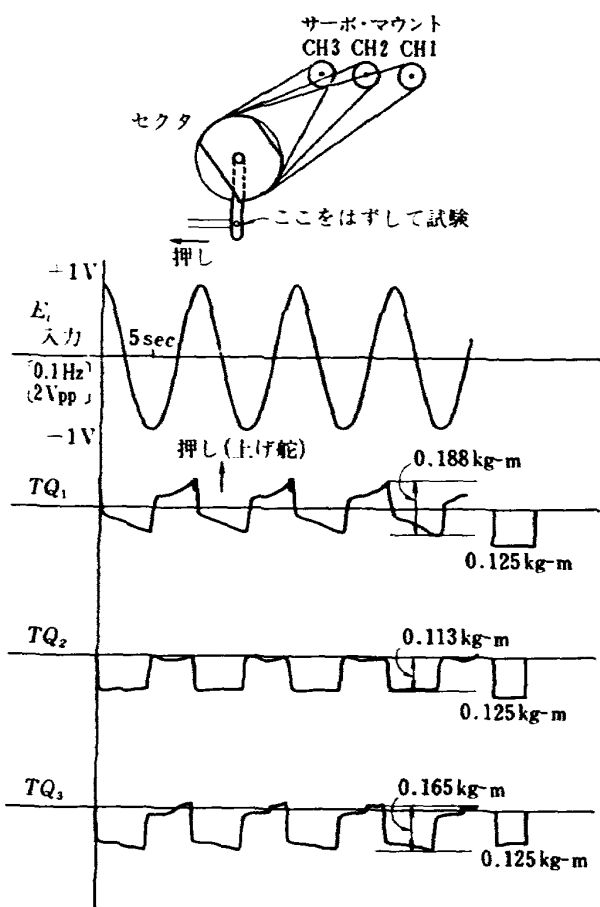


図 3.2.3(b) セクタのみのサーボモータ出力トルク

完全な無負荷であったが、今回はセクタ以後を図のようにはずし、セクタを回転させる分だけの負荷がかかっている。測定結果は各系統に 0.1~0.2 kg·m の大きさの影響があり、系統間で最大 0.075 kg·m のトルク差がある。これらの値は、ワイヤを取り付ける際に行なう張力の調整（ターンバックルで行なう）で変わるので、ワイヤの長さ取り付け位置の影響を観測することは困難である。ワイヤ張力の調整は、張力計を用いるべきであるが、本サーボ系では張力計が使用できるほど十分な長さがないので、使用できず適当に調整した。

以上の結果、系統間トルク差は 0.1 kg·m ほど生じていることが明らかとなった。

3.2.2 動特性試験

動特性試験としては、(1) 周波数特性試験と(2)ステップ応答試験について行なう。

(1) 周波数特性試験

測定法としては 3.2.1 で述べた方法と同じように、入力電圧として極超低周波発振器より得た 0.1 Hz~4 Hz の正弦波信号を加え、舵角、トルクサーボ回転角（フォローアップ信号）、サーボ増幅器出力などの出力電圧を測定する。

測定結果の 1 例を図 3.2.4 に示す。同図 (a), (b), (c) では各々、入力周波数が 0.1, 0.6, 1.0 Hz で、入力振幅が一定の場合 ($\pm 0.5 \text{ Vp.p}$) の時の測定結果である。(a) を見ると、増幅器は飽和域に達しない範囲の応答になっている。したがって入出力、すなわち舵角あるいはサーボ回転角は入力信号の波形と同じである。一方 (c) は飽和域に達した例、すなわちサーボモータは一定速度の 12 r.p.m. で正負に回転している。したがって舵角あるいはサーボ回転角は三角波状になっている。(b) は (a) と (c) の中間となっている。

図 3.2.5, 図 3.2.6 は周波数特性である。同 (a) (b) 図はサーボ回転角に相当するフォローアップ信号の周波数特性である。

フォローアップ信号を選んだ理由は、サーボモータの回転角を得る唯一の安定した信頼のおける情報であるからである。ただし、舵角はサーボモータの回転角 θ_M がわかればリンク比を掛けて得られる（表 3.2.1 参照）。

一方、フォローアップ信号ではサーボモータを駆動するサーボ増幅器がいつ飽和域に入り、サーボモータは一定回転数におさえられたのか明確でない。そこでサーボ増幅器の出力 E_{SA} の周波数特性を示した図が、図 3.2.5, 図 3.2.6 の (c) である。同図より増幅器が

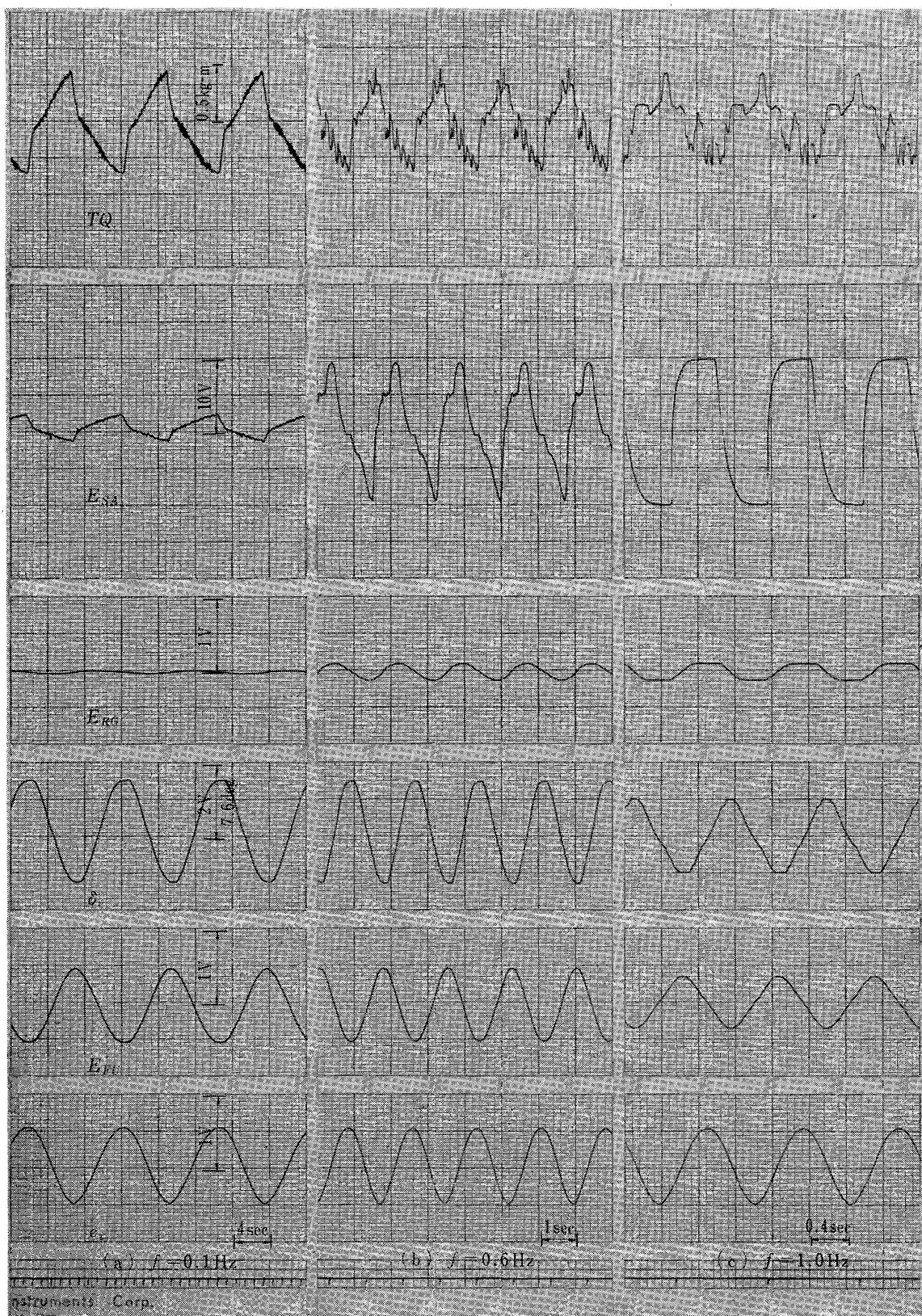


図 3.2.4 周波数特性試験記録例 (85 KT 負荷)

飽和域に入る様子が判る。すなわち $e_i=1.0 \text{ V}$ ($\delta_e=10^\circ$) なら 0.3 Hz , $e_i=0.5 \text{ V}$ ($\delta_e=5^\circ$) で 0.6 Hz , $e_i=0.25 \text{ V}$ ($\delta_e=2.5^\circ$) で 1.2 Hz の周波数で飽和が始まると、出力ゲインが下がってくることがわかる。同図

(d) はサーボモータ出力軸トルクの周波数特性である。このトルクに関し、大振幅では舵角周波数特性と同様な傾向を示すが、振幅が小さくなるとほとんどトルクは減少することなく、むしろわずかばかり増大する傾

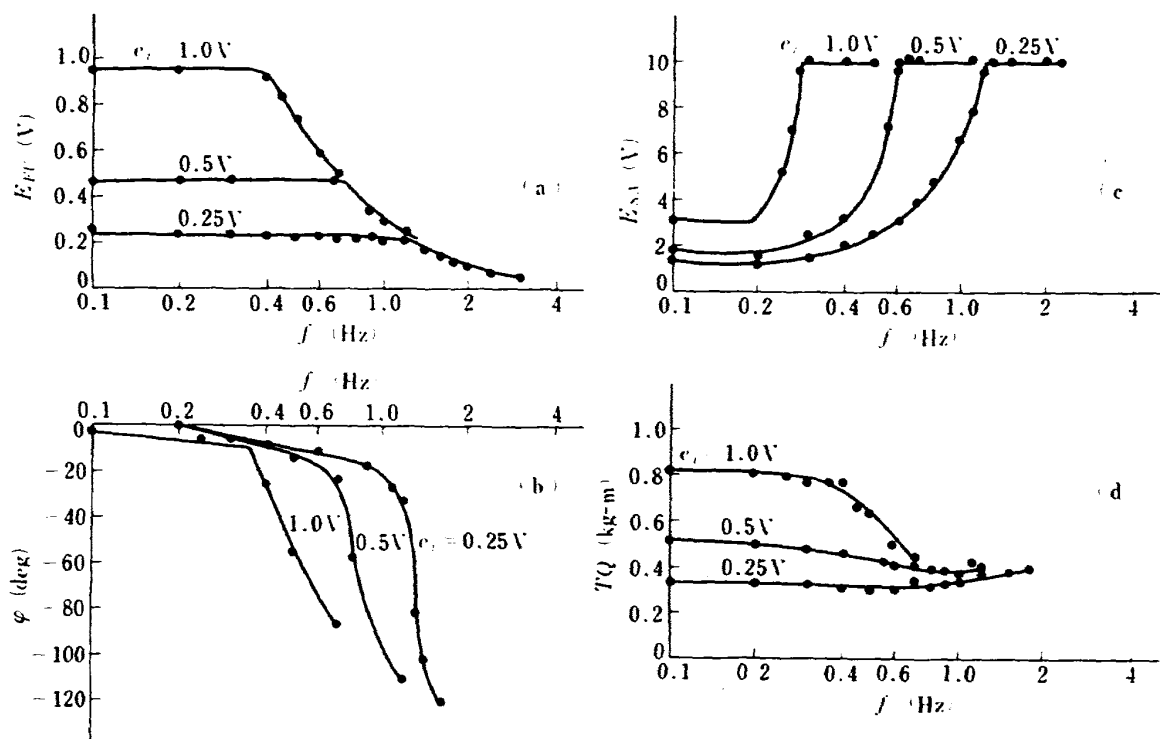


図 3.2.5(1) CH 1 周波数特性 (85 KT 負荷)

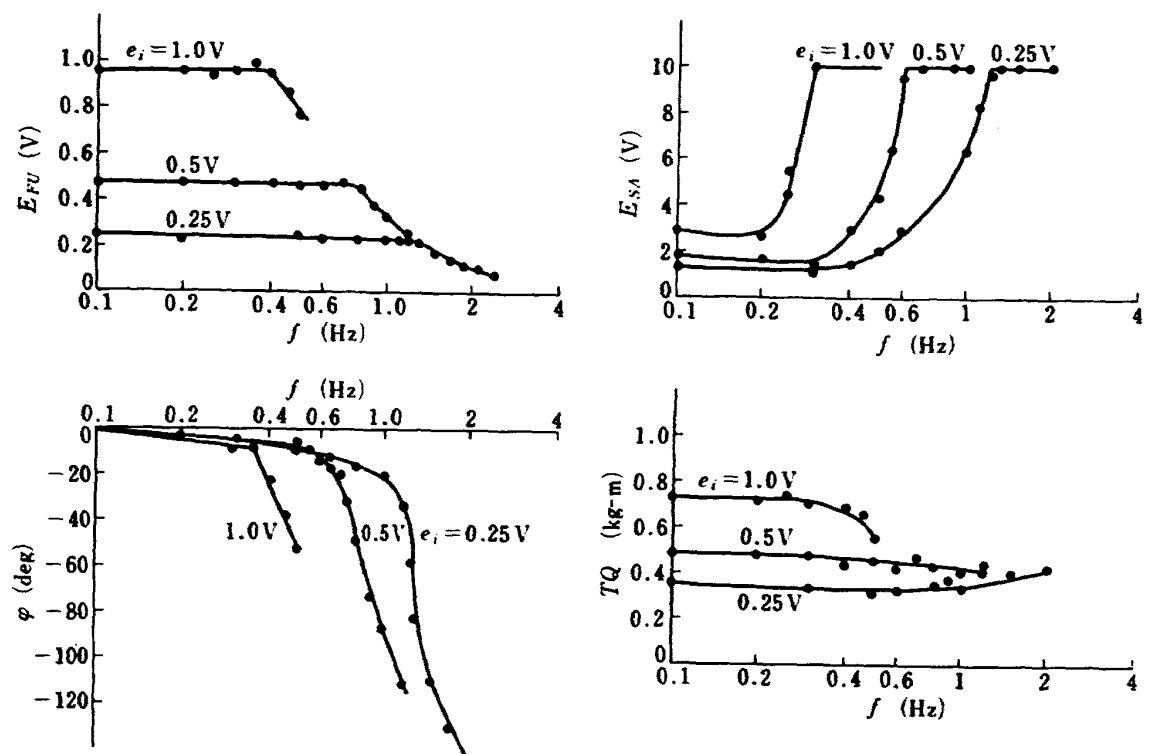


図 3.2.5(2) CH 2 周波数特性 (85 KT 負荷)

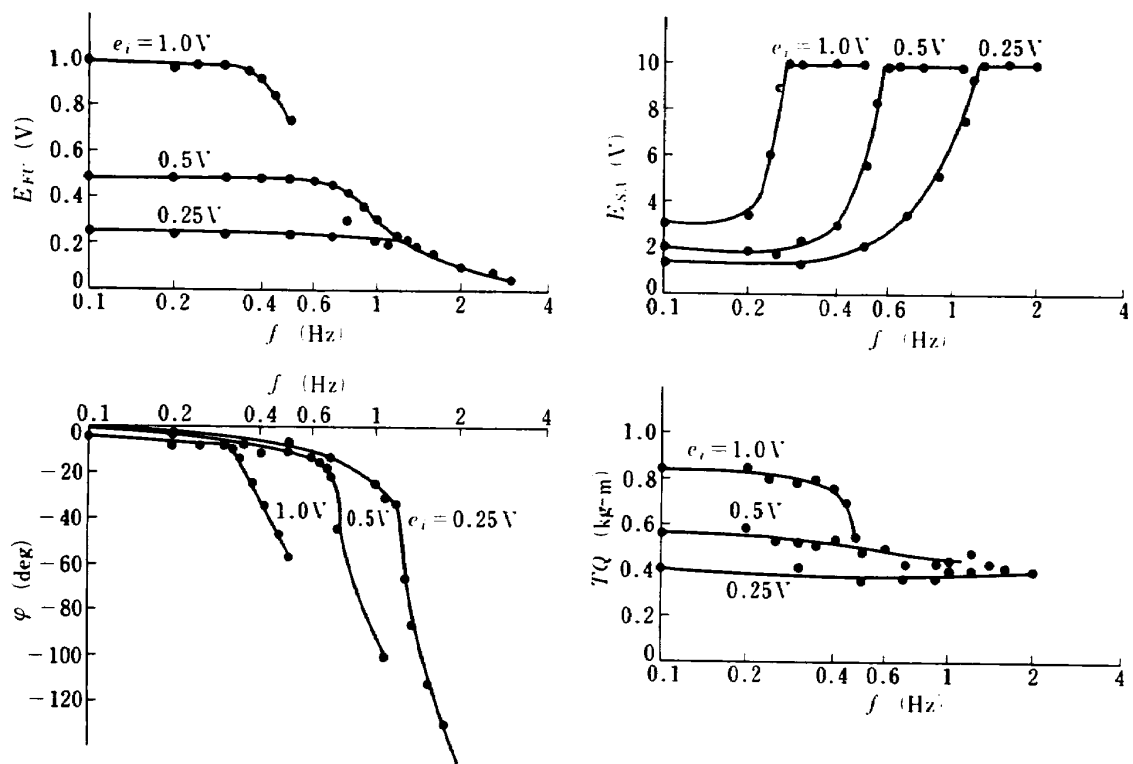


図 3.2.5(3) CH 3 周波数特性 (85 KT 負荷)

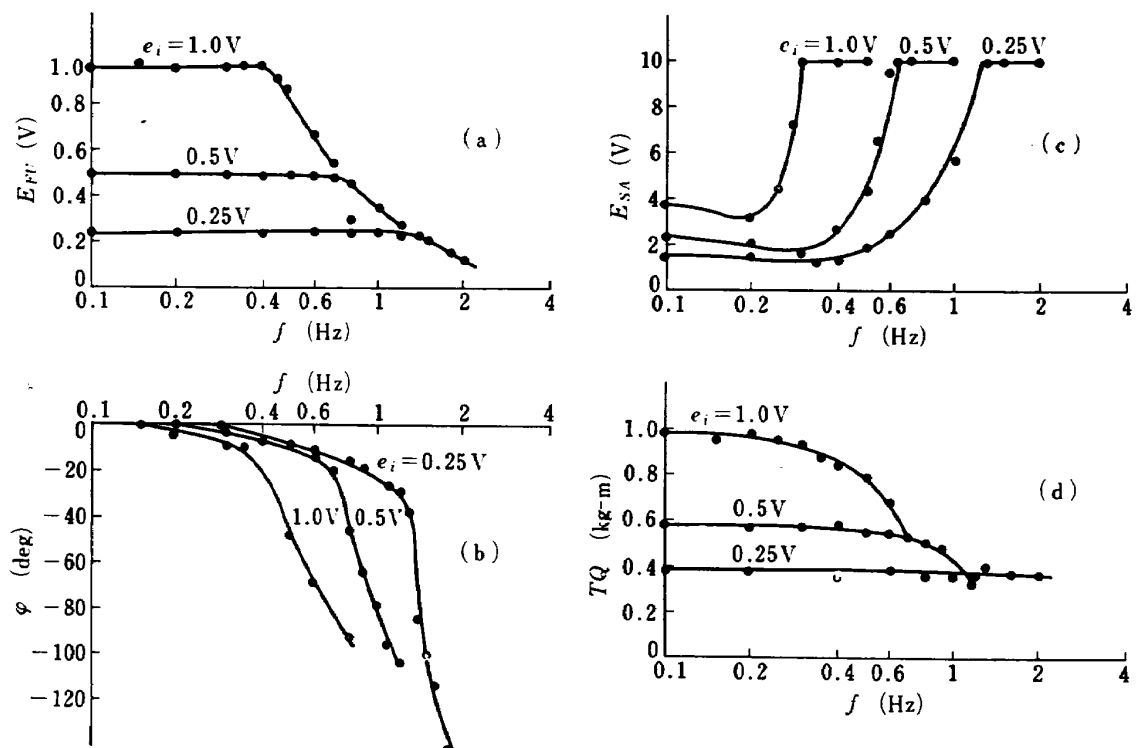


図 3.2.6 CH 2 周波数特性 (120 KT 負荷)

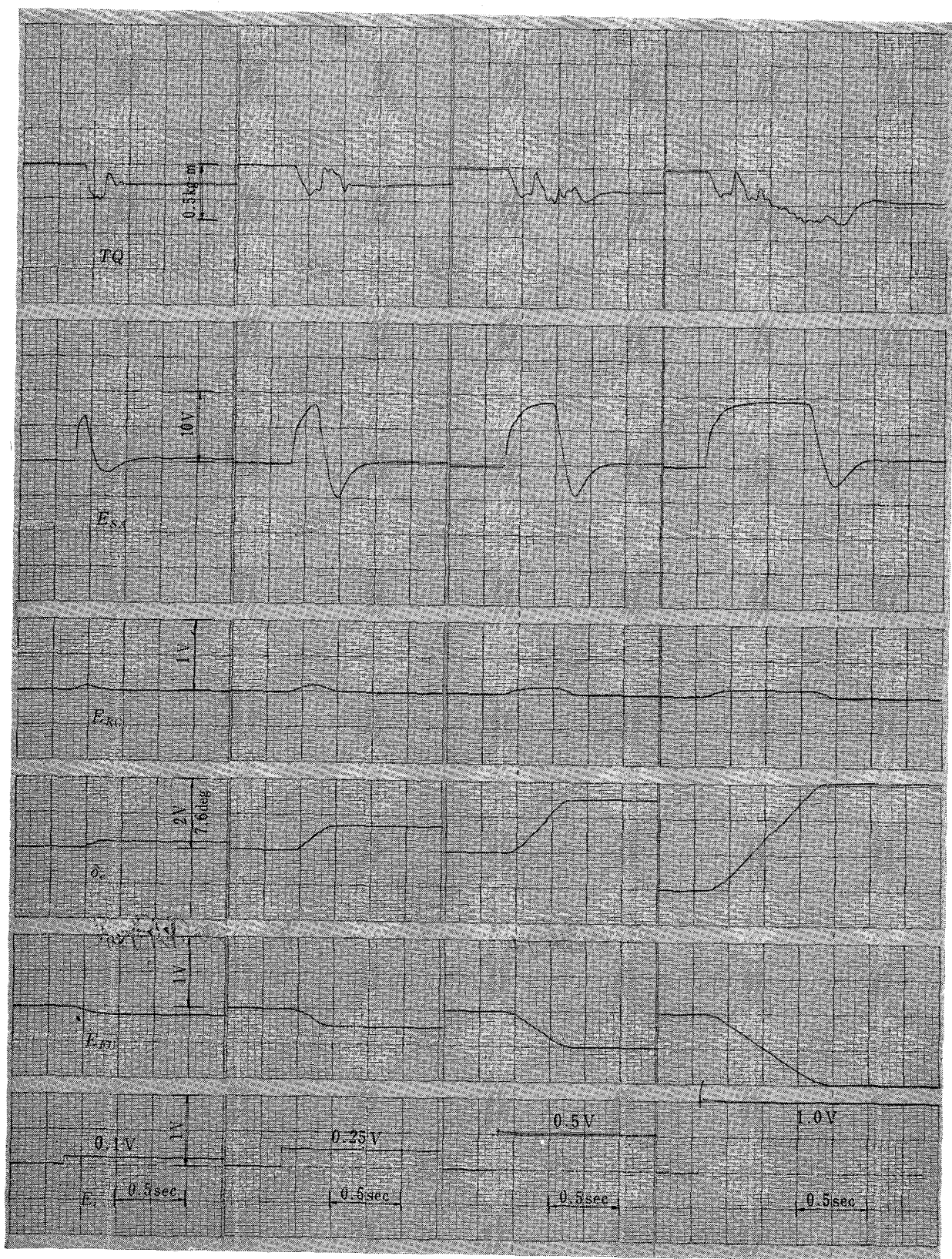


図 3.2.7 ステップ応答試験記録例 (85 KT 負荷)

向が見られる。

(2) ステップ応答試験

本項では、入力としてステップ状直流電圧を加えた時の舵角、サーボ回転角(フォローアップ信号)、サーボ増幅器およびトルクなどの出力を測定する。

図 3.2.7 は測定結果の 1 例である。同図で (a) は入力が小さい場合でサーボ増幅器が飽和しない例で、(d) は入力が大きくサーボ増幅器が飽和域に達している例である。(b) (c) はわずかに飽和域に入る例である。図 3.2.8 は入力値を変えた場合の舵角ステップ応

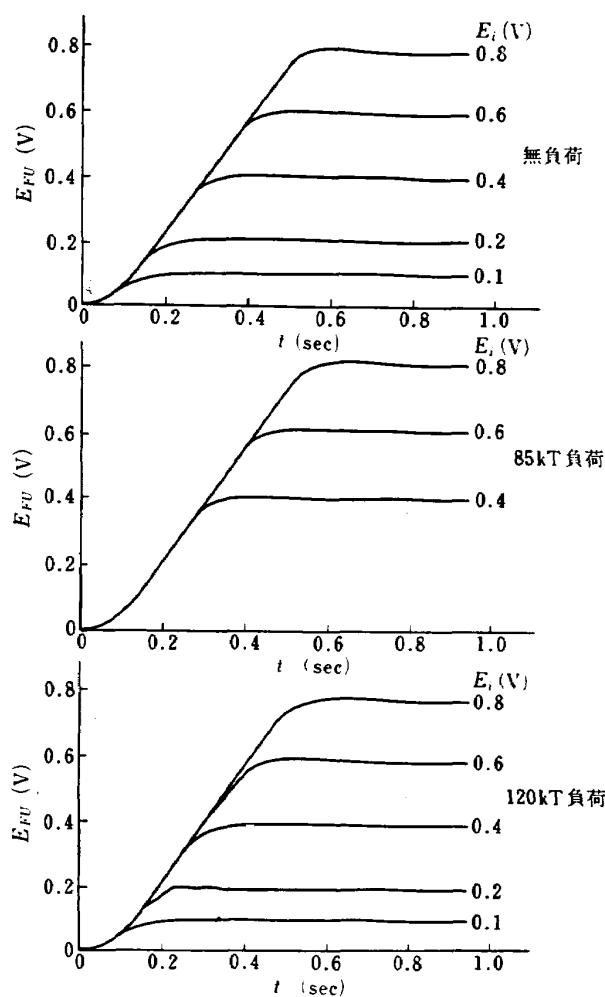


図 3.2.8 CH 2 ステップ応答

答実験結果をまとめたものである。同図で (a) は無負荷の応答, (b) は 85 kT 負荷時, (c) は 120 kT の応答で, (a) (b) (c) の間の差違はなく, 負荷による影響は認められない。

図 3.2.9 はサーボ増幅器の出力 E_{SA} のピーク値を入力電圧 E_i に対してプロットし, 且つ図中に 85 kT 負荷時 E_{SA} の変化する様子も同時に示したものである。

この図から, 入力 0.3 V (舵角 3°) でほぼ飽和域に入ることがわかる。この値以下でも, 図中のサーボ増幅器出力応答波形をみれば明らかなように, E_{SA} が 10 V に近いほど飽和の影響が現らわれている様子がわかる。このことは舵角速度が一定値に近づいていることを示す。サーボ増幅器が線形と思われる範囲で作動する入力は 0.05 V 以下, 舵角にすると 0.5° 以下の小さい値である。したがってエレベータ操作の大部分は, サーボ増幅器が一時的に飽和し, 舵角は一定速度 (舵角速度 15.9°/sec) で目標値に達する。

3.3 舵角追縦特性

舵角の追縦速度が大きければ, 良い制御ができることは明らかであるが, 航空機の強度上の制約から, 舵角速度の大きさにも制限がある。したがって舵角の追縦しうる限界をあらかじめ検討することは必要であろう。ここでは与えられたサーボモータ出力軸回転数から得られる舵角速度と実験で得られた速度の比較およ

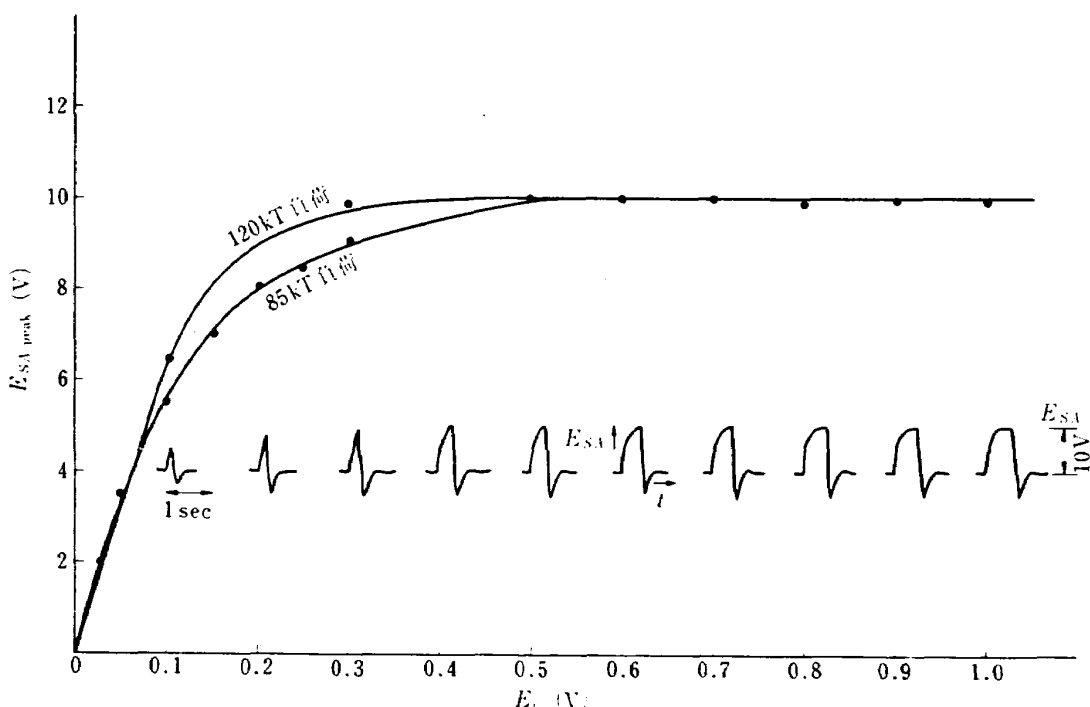


図 3.2.9 サーボアンプ出力電圧のステップ応答

び入力に正弦波を加えた場合、振幅による舵角の追縦しうる範囲を検討する。

3.3.1 舵角速度

舵面が動き得る最大速度は、これを駆動するサーボモータ出力の最大回転数で決まる。本サーボ機構に使用しているサーボモータ最大回転数は 12 r.p.m である。またサーボモータ部と舵面とのリンク比は 0.22 である。

以上、与えられた回転数とリンク比より舵面が動き得る最大速度 $\dot{\delta}_{eM}$ は

$$\dot{\delta}_{eM} = \frac{12}{60} \times 360 \times 0.22 = 15.9 \text{ [deg/sec]} \quad (3.3.1)$$

となる。

一方サーボモータを取り付けたテスト・リグの実験結果より、舵面速度を求めてみることにする。一般に制御系の入力にステップ状の電圧を加えると、出力はこれに応答しきれず、その系がもっている最大速度で制御対象を駆動する。本サーボ機構では、モータ回転数 12 r.p.m で舵面を動かす。すなわち計算によると 15.9 [deg/sec] の舵角速度となる。単一サーボ機構の入力にステップ状入力を加えた場合の実測例を図 3.2.7、図 3.2.8 にすでに示した。このデータの勾配が最大舵角速度であるから、これを求めると 15.9 [deg/sec] となり、仕様から算出した速度 15.9 [deg/sec] とよく一致することがわかる。

3.3.2 舵角の周波数による追縦範囲

舵面を正弦波状に上下させた時、追縦しうる最大周波数は、サーボモータの最大回転数で制限される。これは舵面を早い周波数であらしても、先の 3.3.1 項でのべたと同様な現象で舵角速度が 15.9 [deg/sec] でおさえられ、これ以上早く動かすことができない。ここでは舵角速度が 15.9 [deg/sec] でおさえられた場合、舵角の大きさにより動き得る最大周波数を求め、且つ、実験結果と比較する。

今、舵面の舵角 δ_e を、

$$\delta_e = \delta_{eM} \sin \omega t \quad (3.3.2)$$

で動かすものとする。この場合の舵角速度 $\dot{\delta}_e$ は

$$\dot{\delta}_e = \frac{d\delta_e}{dt} = \delta_{eM} \omega \sin \omega t \quad (3.3.3)$$

となる。したがって舵角速度の最大値 $\dot{\delta}_{eM}$ は

$$\dot{\delta}_{eM} = \delta_{eM} \omega \quad (3.3.4)$$

で与えられる。ここで $\dot{\delta}_{eM}$ は 15.9 [deg/sec] で与えられているから、結局、舵角振幅 δ_{eM} と周波数との間に

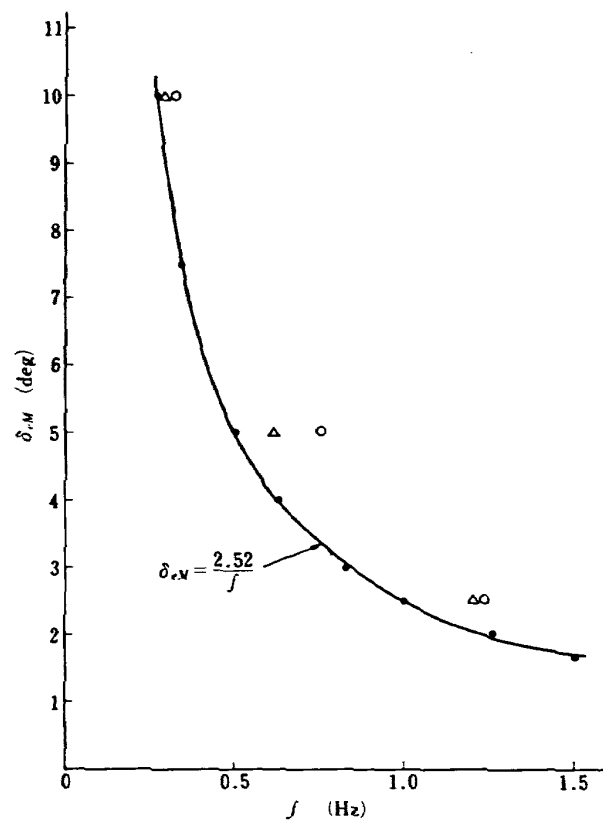


図 3.3.1 周波数による舵角追縦範囲

$$\dot{\delta}_{eM} = \frac{\delta_{eM}}{\omega} = \frac{15.9}{2\pi f} = \frac{2.52}{f} \text{ [deg]} \quad (3.3.5)$$

なる関係がある。この (3.3.5) 式の関係をグラフにすると図 3.3.1 を得る。

一方、3.2.2 項で述べた周波数特性曲線（図 3.2.5 (a)) で振幅が減少始める周波数およびサーボ増幅器が飽和し始める周波数を図 3.2.5 (c) から読みとると、表 3.3.1 のようになる。表 3.3.1 の平均値のみを図 3.3.1 に示す。図中、○印は周波数特性より得られた値、△印は増幅器の飽和点から得た値である。

図 3.3.1 に示したように、計算値と実験値は比較的一致しているとみてよいであろう。わずかな相違の理由は、実験値の場合舵角速度が飽和域に達したかどうかを記録計の読みからでは明確にとらえることができない。記録では、常に飽和域に達し、且つ、明らかに振幅の減少がみられる周波数を読みとることになるので高めな周波数をプロットしたものと考えられる。一方○印と△印では、△印の方が計算値に近い。これはフォローアップ信号 (E_{FU}) 周波数特性は、サーボモータの出力側で測定し、サーボ増幅器出力電圧はサーボモータの入力側で測定する関係で、増幅器出力電圧から得た舵角速度の限界値である△印の方が計算値に近いことは明らかである。

図 3.3.2 は (3.1) 式で得られる周波数に対する舵角

表 3.3.1 単一サーボ系の折点周波数

	舵角振幅	CH 1	CH 2	CH 3	平均
周波数特性曲線の振幅減少周波数(図 3.2.5(a))	10 deg	0.35 Hz	0.3 Hz	0.3 Hz	0.317 Hz
	5 deg	0.7 Hz	0.7 Hz	0.8 Hz	0.75 Hz
	2.5 deg	1.3 Hz	1.3 Hz	1.2 Hz	1.23 Hz
サーボ増幅器が飽和する周波数(図 3.2.5(b))	10 deg	0.28 Hz	0.3 Hz	0.28 Hz	0.287 Hz
	5 deg	0.62 Hz	0.62 Hz	0.62 Hz	0.613 Hz
	2.5 deg	1.2 Hz	1.2 Hz	1.2 Hz	1.2 Hz

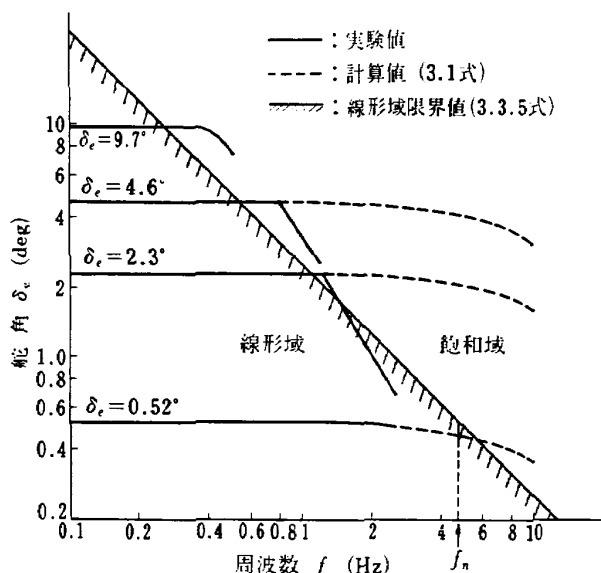


図 3.3.2 周波数応答の限界特性

の値,

$$\delta_e = |G|E_i = \frac{9781}{\sqrt{(890 - (2\pi f)^2)^2 + (82(2\pi f))^2}} E_i \text{ [deg]} \quad (3.3.6)$$

および実験値 ($E_i=0.052 \text{ V}, 0.23 \text{ V}, 0.46 \text{ V}, 0.97 \text{ V}$ の各場合) ならびに線形域と飽和域の限界を示す (3.3.5) 式の値を同時に示した図である。実験で得られた舵角追縦可能範囲と、サーボモータの最大回転数 12 r.p.m でおさえられる追縦範囲とほぼ一致していることがわかる。サーボ増幅器に非線形がなければ点線で示したようにさらに高域までのびるが、双発ビジネス機 (3,500 kg) クラスの短周期固有振動数は 0.4 Hz 前後、長周期ではさらに小さく 0.045 Hz 程度であることから、あまり周波数特性を良くする必要もない。

4. 多重サーボ機構に関する実験

3 章において、各単一サーボ機構の基本特性を明らかにした。本章では単一サーボ機構 3 系統を並列に接続し、このうち 1 系統に故障を起こさせ、システム内に発生する異常具合を測定する。故障といつても、いろいろなモードが考えられるので、ここでは表 4.1 に示したような故障モードを仮定し実験を行なうこととする。

表 4.1 故障モード

サーボモータ出力軸からみた故障モード	故障の原因
ドリフト故障 A. (出力軸が時間とともに一定方向にゆっくり回転してしまう)	○ センサ、コンピュータ、電源部などの電気部品の定数が、温度、湿度、気圧、振動などの影響で変化する。
短絡故障 B. (出力軸が平衡位置で停止したまま動かない。)	○ センサ、コンピュータ部の信号ライン短絡 ○ 電源 OFF
ハードオーバ故障 C. (出力軸が正負いずれかの方向に突然ある角度だけ回転して、そこで停止したまま動かなくなる。)	○ コンピュータ部部品のはずれ、一部分短絡、部品の劣化 ○ センサ部の機械的故障 ○ モータ内部のギヤがかけ動かなくなる。
その他の故障 D. (出力軸が回転振動する。)	○ 信号ラインにノイズが入る。 ○ センサ部の取り付けがゆるみ、機体の振動の影響を受ける。

4.1 実験の方法

単一サーボ機構のブロック線図は、すでに図 3.1.1 に示した。このシステムを図 4.1.1 のように並列3重系とし、冗長システムを構成する。このシステムにはセンサ、均等化回路、故障検出回路および故障系統切り離し装置などは付加していない。これは単純に3つのサブシステム（单一サーボ機構）を並列接続し、昇降舵を駆動する非切離方式の多重サーボ系である。

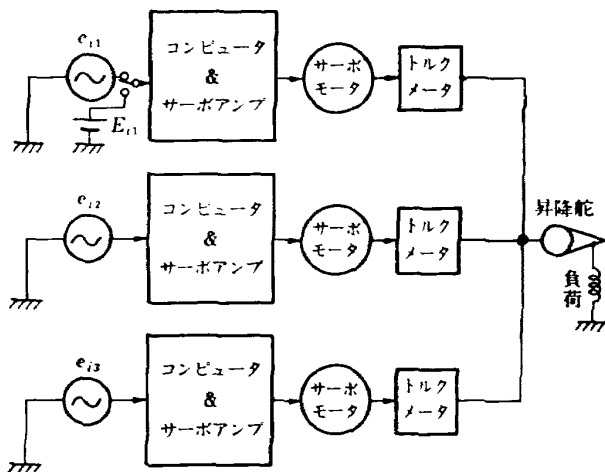


図 4.1.1 3重非切離方式実験回路

このように故障が生じても、故障系統を切り離さない方式を、本報告書では非切離方式ということにする。非切離方式を構成する各サブシステムをそれぞれ CH 1, CH 2, CH 3 と称する。実験は3サブシステムのうち、1サブシステムを故障とみたて、各サブシステムの入力電圧を変えて行なう。

次に実験の方法について述べる。

実験 1. 2サブシステムの入力を常に零とし、1サブシステム入力に直流電圧を加える。これは静的に、モータ・トルク、出力角、舵角などの動きを確認する試験である。本実験をドリフト故障 (I) とする。

実験 2. 2サブシステムの入力を交流(0.1 Hz)0.2 V とし、1サブシステム入力には、交流(0.1 Hz)電圧を0 V からわずかずつ変えていく。これは表 4.1 の故障モード A に相当し、1サブシステムのゲインが大または小になった場合、他のサブシステムに与える影響などが明らかになる。本実験の故障をドリフト故障 (II) ということにする。

実験 3. 3サブシステム入力に交流(0.1 Hz)0.2 V を加え、稼動中突然1サブシステム入力を零にする。これは表 4.1 の故障モード B に相当し、1サブシステムが突然どこかに短絡事故を起こし、この系統のサーボモータ制御電圧を零にしてしまう故障を想定してい

る。故障サブシステムは舵角零度に個定されたとになり、残った2サブシステムがむりやりに故障したサブシステムを引っ張って目標舵角に合わせることになる。本実験を短絡故障ということにする。

実験 4. 3サブシステムに交流(0.1 Hz)0.2 V を加え、稼動中突然1サブシステム入力に直流を加える。この直流 E の値を0 V から +0.6 V まで変えて実験する。これは表 4.1 の故障モード C に相当し、サーボモータ制御巻線に過大電圧を受ける。单一系なら非常に大きな舵角操作を行ない、急上昇あるいは急下降を招く危険な状態となる。本非切離システムの場合には、この故障したサブシステムを正常な2サブシステムで押え、且つ故障したサブシステムに打ち勝って目標舵角に合わせることになる。本実験の故障をハードオーバー故障ということにする。

4.2 実験結果および検討

測定項目および記号をそれぞれまとめて表 4.2 に示す。

表 4.2 測定項目

記号	測定項目	備考
TQ	サーボモータ出力軸トルク	サブシステム出力段のストレス配分がわかる。
θ_M	サーボモータ出力軸回転角	サーボモータの異常な動きを検知する。
δ_e	昇降舵角	最終制御量である δ_e を測り、故障の影響度を測定
e_i	入力交流電圧	正弦波状に舵を振らし、これと異なる値、例えば振幅大にしたり、突然直流入力にしたりする。
E_i	入力直流電圧	静的な実験、あるいは実験 4. のような異常なバイアスを与える、ハードオーバー故障を与える。

4.2.1 実験 1 の結果

横軸に入力直流電圧 E_i 、縦軸にトルク TQ 、モータ出力軸回転角 θ_M 、舵角 δ_e をとった結果を図 4.2.1 に示す。

入力信号を与えたサブシステムと入力零の2サブシステムの間にほぼ 2 対 1 の予想された力の配分がみられる。入力電圧が大きくなると、トルクが飽和（設定ストールトルク約 2.5 kg-m）する。トルクの配分が正確に 2 対 1 にならないのは、サーボモータと舵面を結ぶケーブル張力を完全に合わせられなかったことや、モータの配列、ケーブルの長さの相違、摩擦などの原

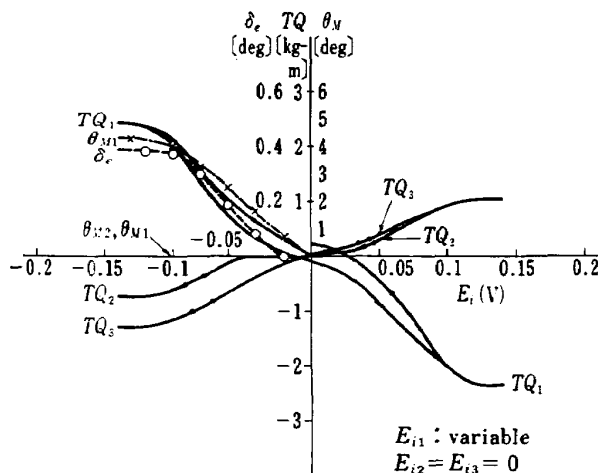


図 4.2.1 (a) CH 1 ドリフト故障 I 実験結果
(85 KT 負荷)

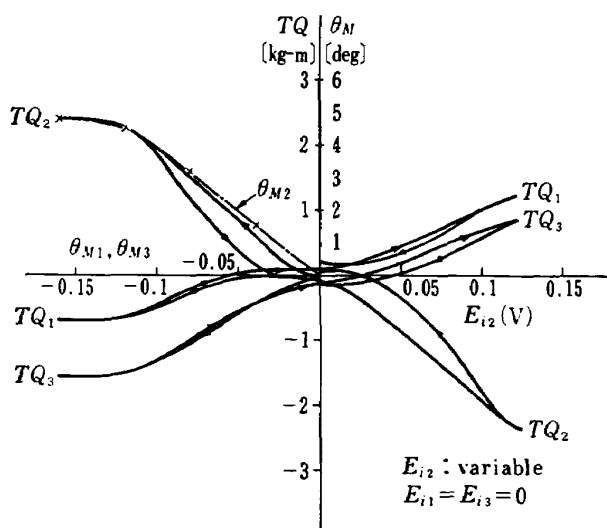


図 4.2.1 (b) CH 2 ドリフト故障 I 実験結果
(85 KT 負荷)

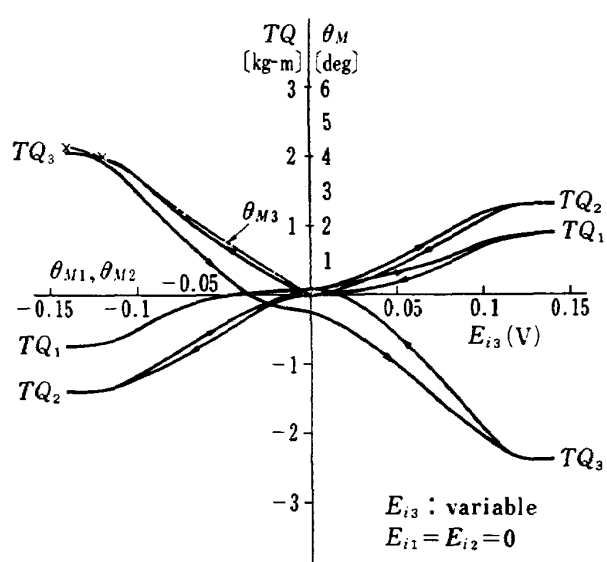


図 4.2.1 (c) CH 3 ドリフト故障 I 実験結果
(85 KT 負荷)

因によるものと考えられる。

2 サブシステムのサーボモータが回転していないのに、入力電圧を加えたサブシステムの θ_M がわずか現われている。これはモータ内のギヤのガタ、ケーブルの伸びなどが影響していると考えられる。舵角 δ_e もわずかでている。これは入力を加えたサブシステムのトルクがセクタに伝わり、これと 2 サブシステムのトルクの合計との差で、わずか動かされたものであろう。

本実験のように静的に行なった場合には、故障とみたてた 1 サブシステムの影響が、舵角 δ_e にほとんど与えてないとみてよい。

4.2.2 実験 2 の結果

測定結果の 1 例を図 4.2.2 に示す。結果をまとめ、横軸に故障とみたてたサブシステムの入力交流電圧 e_i (他の 2 サブシステムは 0.2 V 一定)、縦軸にはトルク TQ , θ_M , δ_e をとって図 4.2.3 に示す。図中, $e_i=0.2$ V でトルク TQ が最低になっている。これは、この点で 3 つのサブシステム入力が一致したので、お互いのストレスが最小となったからである。同様にこの点では、 θ_M が約 9° と一致し、 δ_e も約 2° と目標値に合致している。図は故障とみたてたサブシステムの入力電圧が、 $e_i=0.2$ V からずれると、 TQ , θ_M , δ_e がそれぞれどのようなふるまいを示すかを表わしている。

故障していないサブシステムの θ_M は、 $e_i=0.2$ V の点を基準にすると、±0.3° 以内でほとんど影響を受けていない。一方、故障サブシステムの θ_M は ±5° の動きを示している。また δ_e は、約 ±0.5° の影響を受けている。

4.2.3 実験 3 の結果

測定結果の 1 例を図 4.2.4 に示す。まとめた結果を図 4.2.5 に示す。横軸は 3 つのサブシステムの交流入力電圧 e_i を示し、突然 1 サブシステムの入力を零にした場合の各サブシステムが受けるトルク、サーボモータ出力軸角度 θ_M および舵角 δ_e を縦軸に示す。

故障にみたてたサブシステムのトルクが、入力電圧 0.15 V になるとストールトルク飽和域に入り、これ以上のトルクは出ない。一方、故障でない 2 つのサブシステムには、ストールトルクにいたるまで余裕があるから、故障サブシステムを引っ張り、目標値に合わせることができる。したがって故障サブシステムのサーボモータは、ストールトルクにいたるまではほとんど動かないが、ストールトルクを過ぎると、先に述べたように、他の正常な 2 系統のサブシステムに引っ張られて、約 5° の差で動き始める。 δ_e は最大誤差約

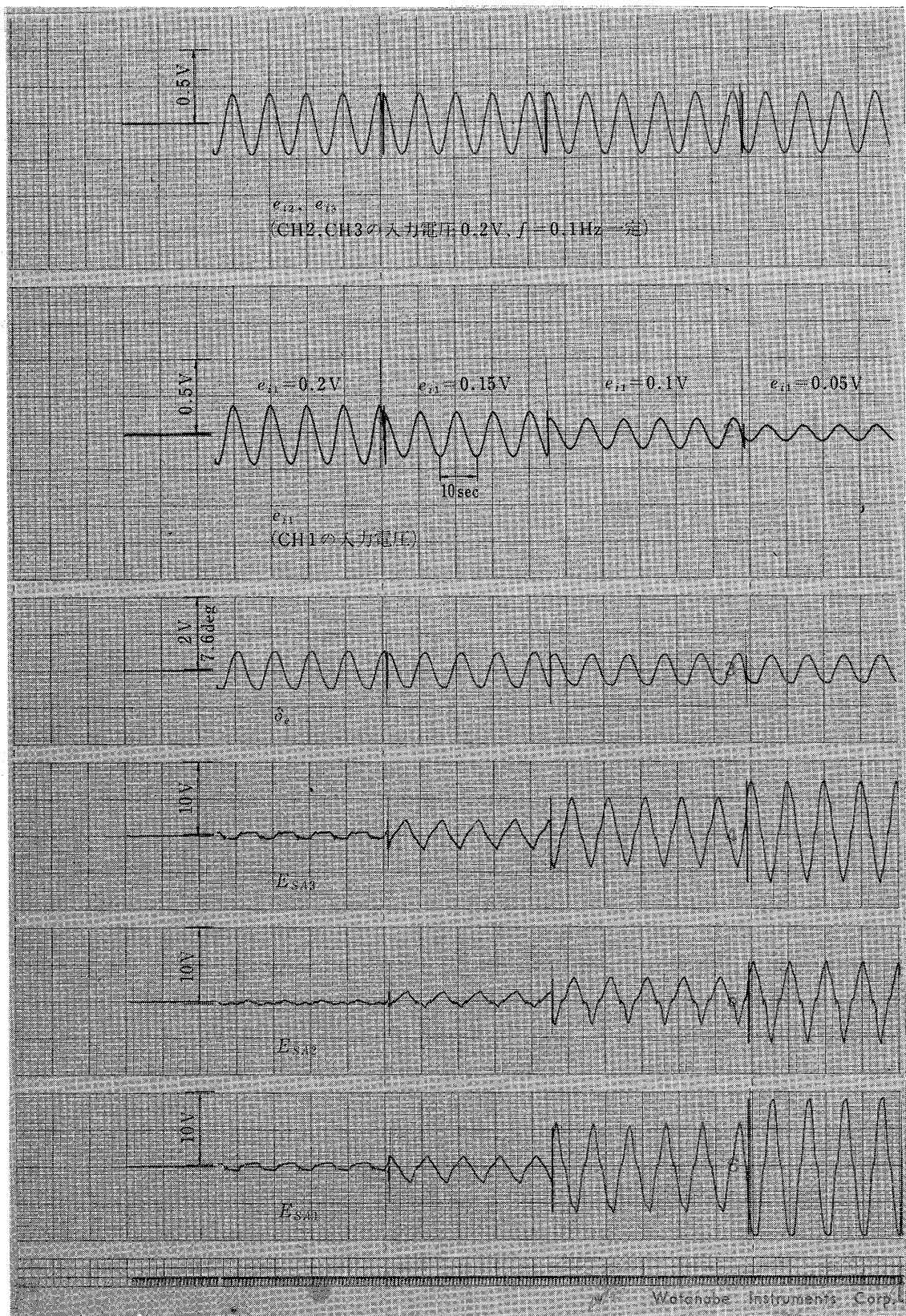


図 4.2.2(1) ドリフト故障II測定例 (CH 1 故障)

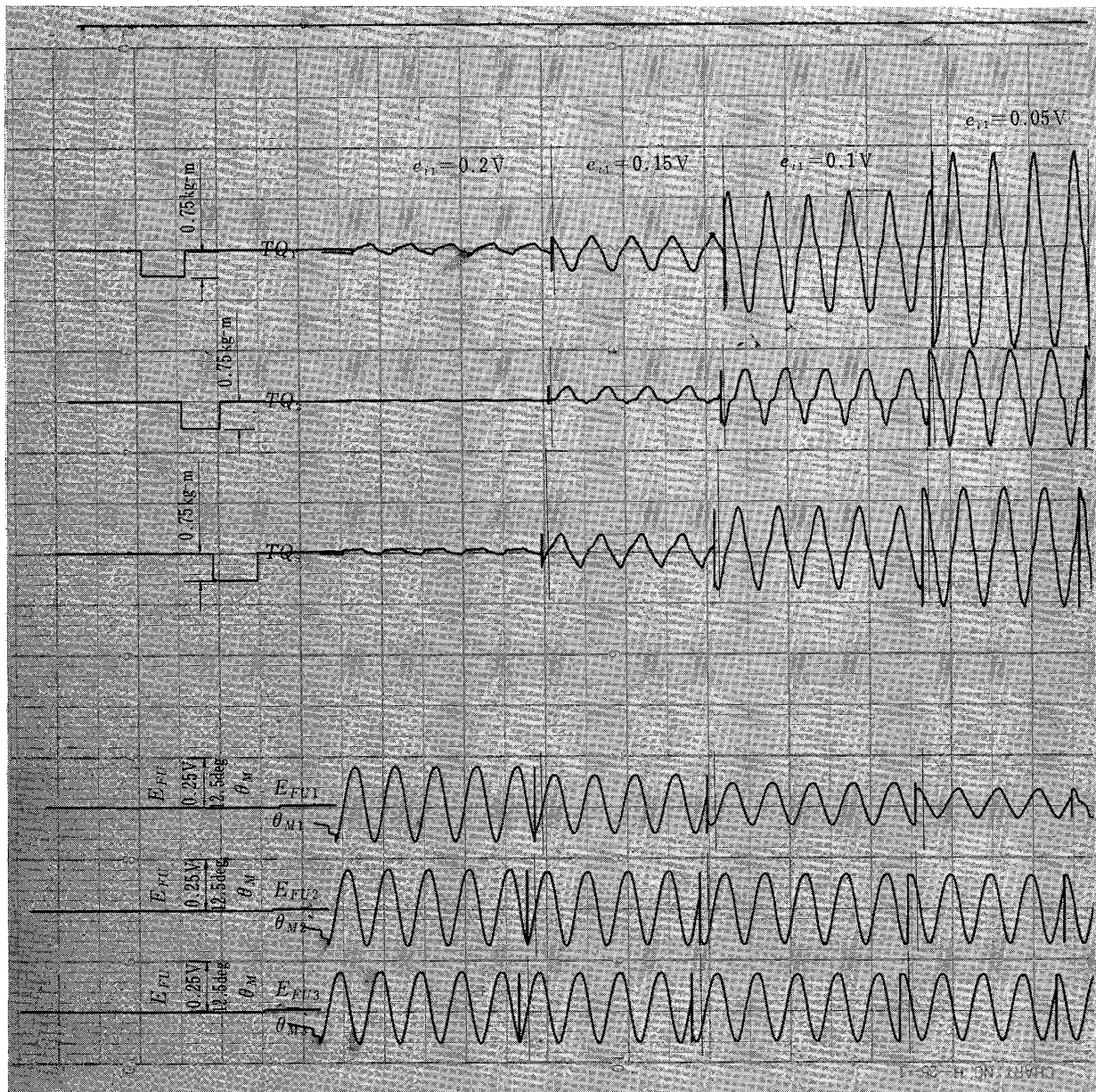


図 4.2.2 (2)

0.5° を生ずるが、故障サブチャンネルが動かされ始める $e_i=0.15\text{ V}$ ごろより、この誤差は減少し、 $e_i=0.4\text{ V}$ より大きいところではほぼ目標舵角になる。この原因は故障チャネルが動き始めると、この系の摩擦が動摩擦となり、拘束力が減るためであると考えられる。

4.2.4 実験 4 の結果

測定結果の 1 例を図 4.2.6 に示す。まとめた結果を図 4.2.7 に示す。同図は、横軸にハードオーバー故障を与えるための直流入力電圧 E を、縦軸にはこれまでの結果と同様にトルク、サーボモータ回転角、舵角をとったものである。本図 4.2.7 は、下げ舵方向のハードオーバー故障をみたてたので、上げ舵と下げ舵ではトルクをはじめ、 θ_M , δ_e の値が異なる。そこで、平衡点

を基準に上げ舵、下げ舵方向に分けそれぞれ図示してある。図中記号の添字で、数字はチャンネル番号、 D と U はそれぞれ下げ舵、上げ舵を示す。

故障サブシステム入力 E が零のときは、 TQ , θ_M , δ_e いずれも上下対称で、これは先の実験 3、図 4.2.3 における交流入力 $e_i=0\text{ V}$ の点に等しい。 E を逐次増していくと、ハードオーバーした故障サブシステムは下げ舵方向に動く傾向を示す。ところが 2 つの正常サブシステムがこれを押え、平衡点附近で舵角約 2° で上下に振らるので、図 4.2.6 の測定例のように、ハードオーバー故障したサブシステムおよび正常サブシステムのトルクは、一方向に片寄ってくる。このときの正常サブシステムのサーボ回転角 θ_M はほとんど変化しない。一方故障サブシステムの θ_M は、ハードオーバー

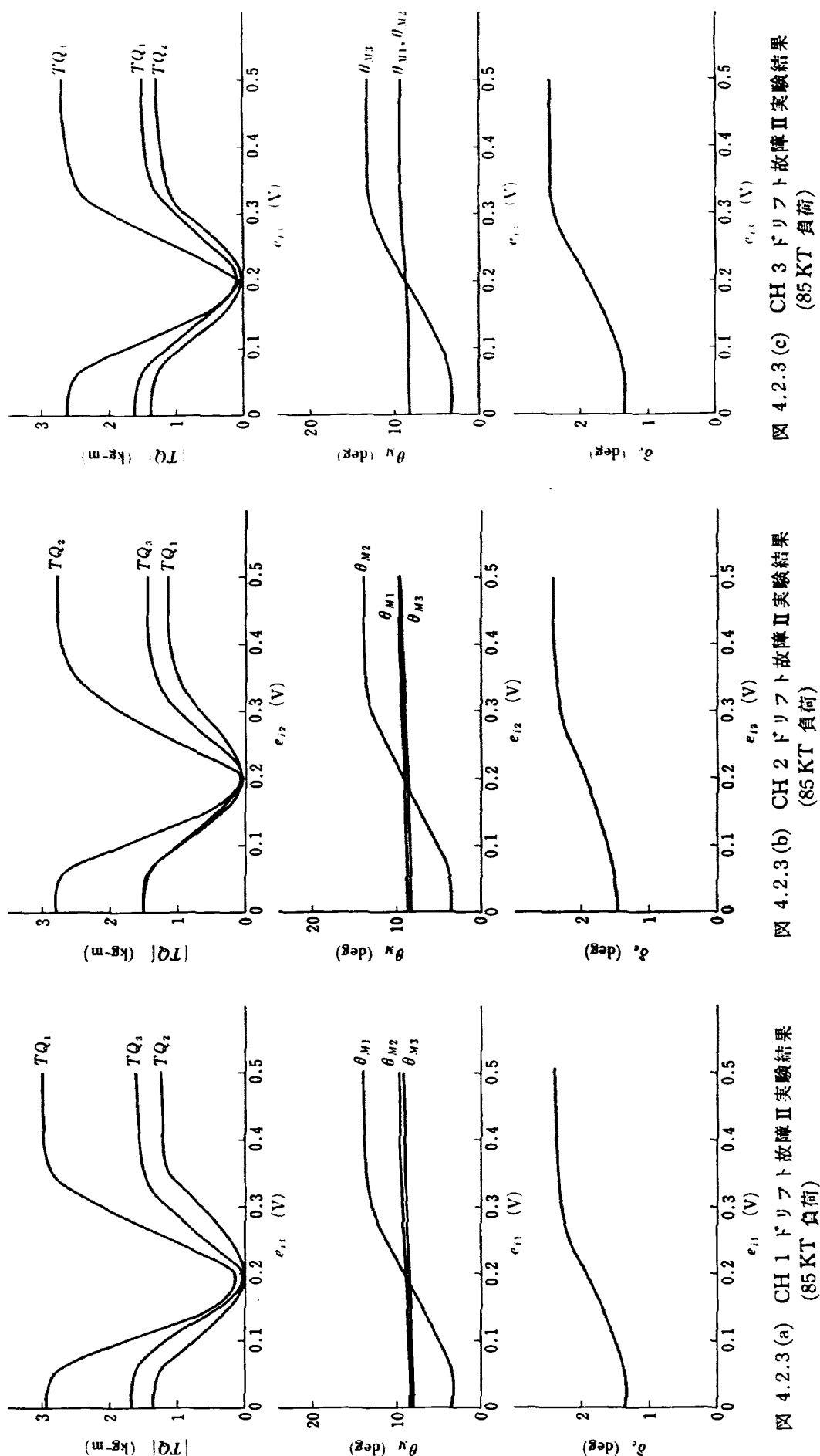


図 4.2.3 (a) CH 1 ドリフト故障 II 実験結果
(85 KT 負荷)

図 4.2.3 (b) CH 2 ドリフト故障 II 実験結果
(85 KT 負荷)

図 4.2.3 (c) CH 3 ドリフト故障 II 実験結果
(85 KT 負荷)

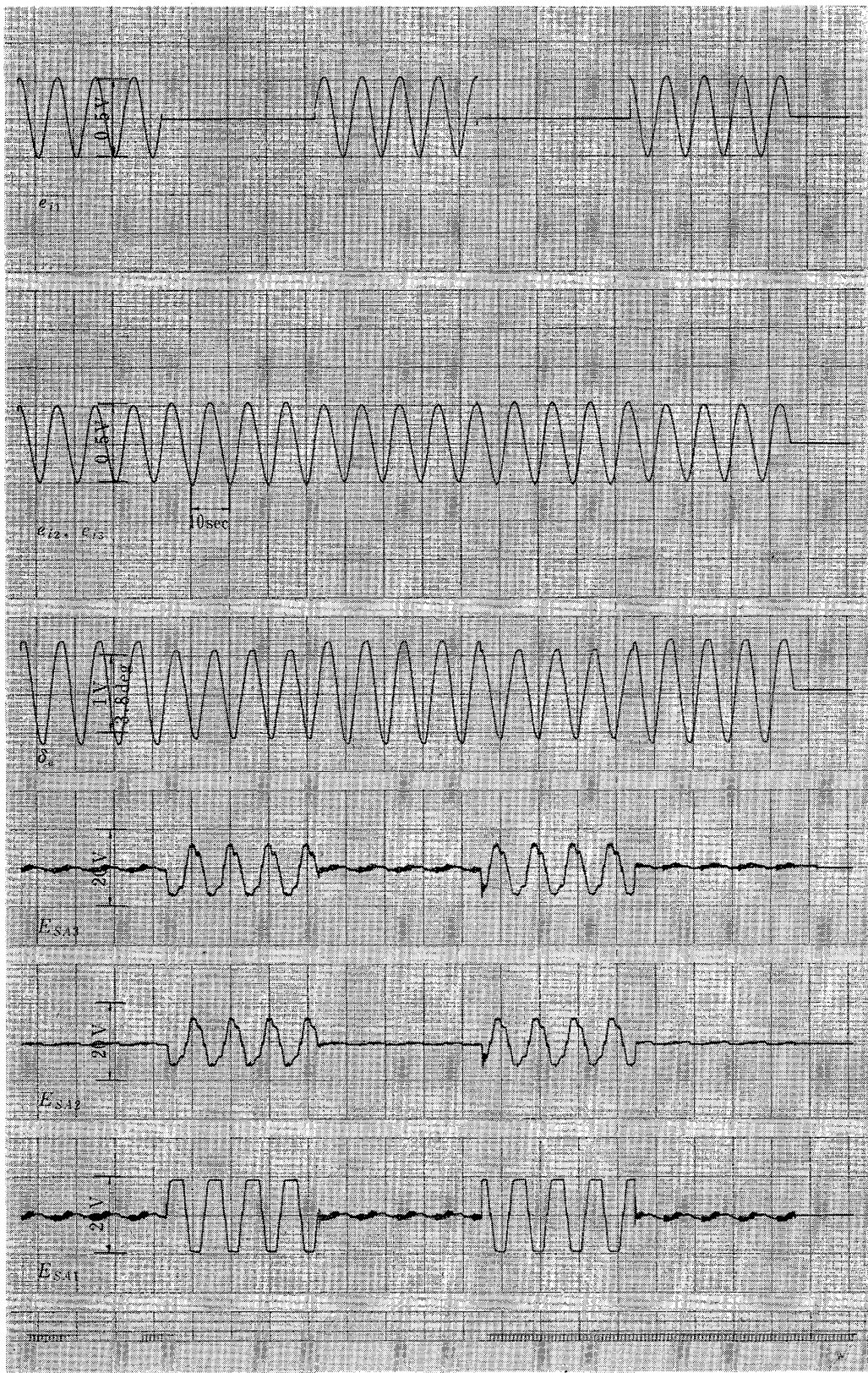


図 4.2.4(1) 短絡故障測定例 (CH 1 故障)

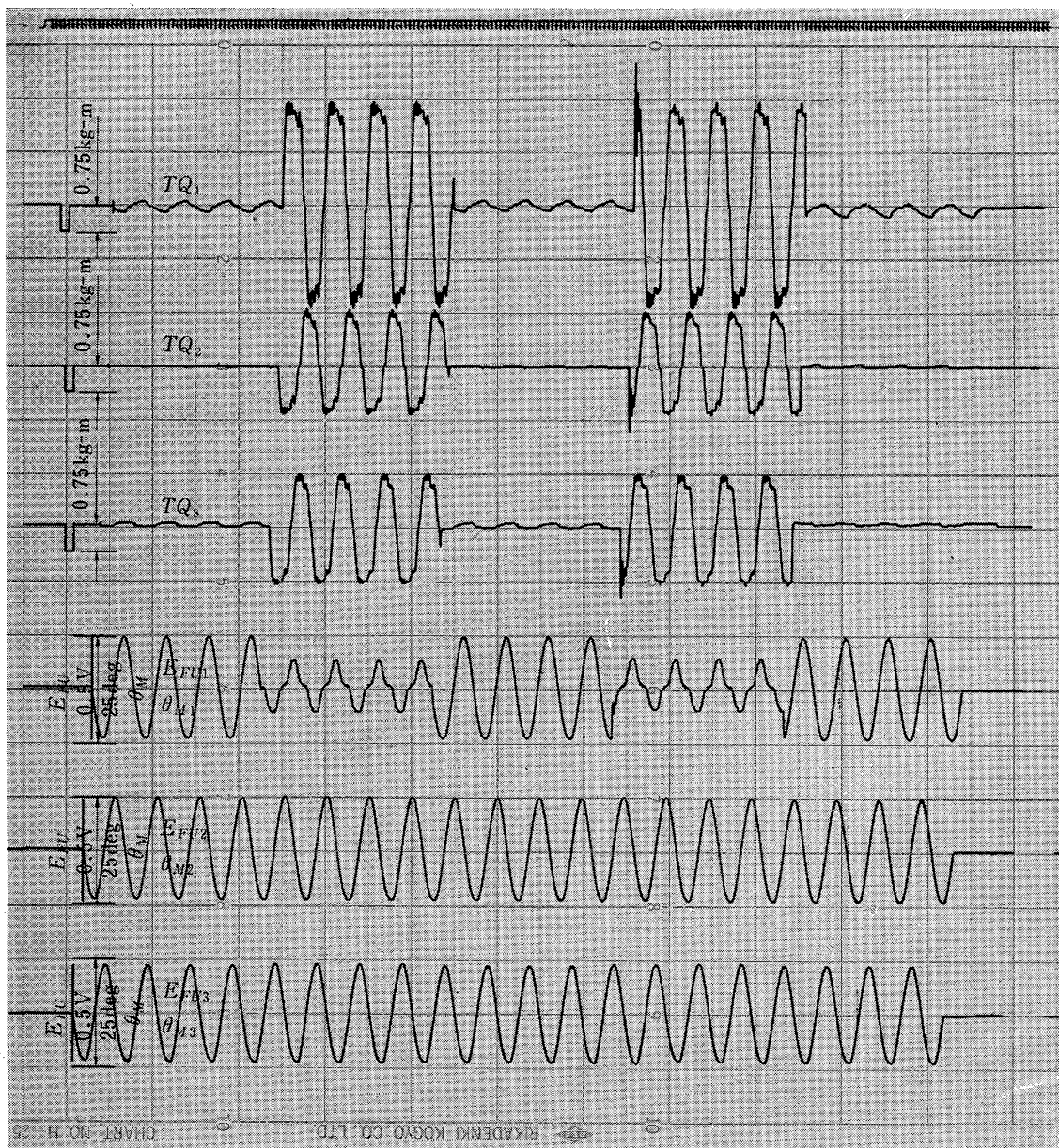


図 4.2.4 (2)

した下げ舵方向に、ハードオーバの量により、 -3° から -18° と大幅に変化する。また上げ舵方向の故障サブシステムの θ_M は 3° で、ハードオーバ量によらず一定である。このことは、故障サブシステムの θ_M が、ハードオーバの量によって、全振幅 6° から 20° に変化する事を意味する。図 4.2.6 (その 2) の実測例にもみるようにこの時、 θ_{M1} の中心レベルが下げ舵方向に 0° から 9° 変化することが判る。

4.3 実験結果の検討

3重系非切離システムの実験として、1サブシステムを故障とみたて、入力に種々の異常電圧を加え、システム相互のストレスすなわちサーボモータにかかるトルクやモータ出力軸の角度、舵角などを測定した。これまでの実験結果をみれば明らかなように、サー

ボモータにはリミット値、すなわちストールトルク以上にはトルクを出せない制限値がある。このため故障サブシステムが異常な入力あるいは零入力を受けても、ストールトルク（約 $2.5 \sim 3.0$ kg-m）に制限を受ける。したがって1サブシステムが故障してストールトルク値になっていても、他の正常な2サブシステムが故障したシステムのストールトルクの $1/2$ をそれぞれ受けもち、舵面を駆動する力にはまだ余裕が残されている。このため故障モードによっては、正常な2サブシステムが故障サブシステムを押す。あるいは引っ張るかして舵面を駆動することが可能である。

舵面を動かすことができる事が明らかになったが、ここで問題になるのは1サブシステムの故障が最終制御量である舵角に与える影響である。

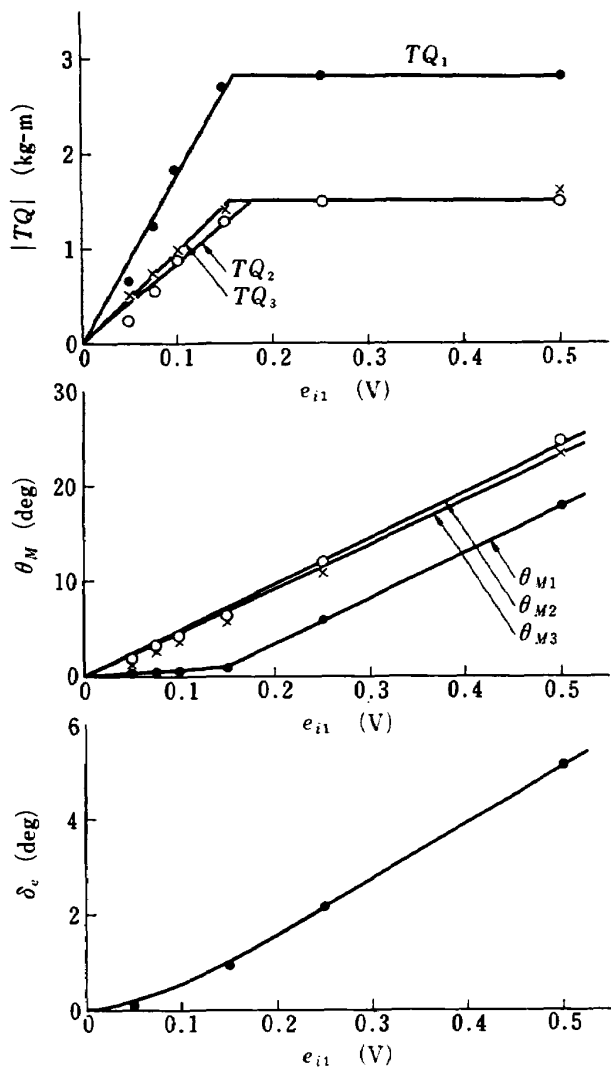


図 4.2.5 (a) CH 1 短絡故障実験結果 (85 KT 負荷)

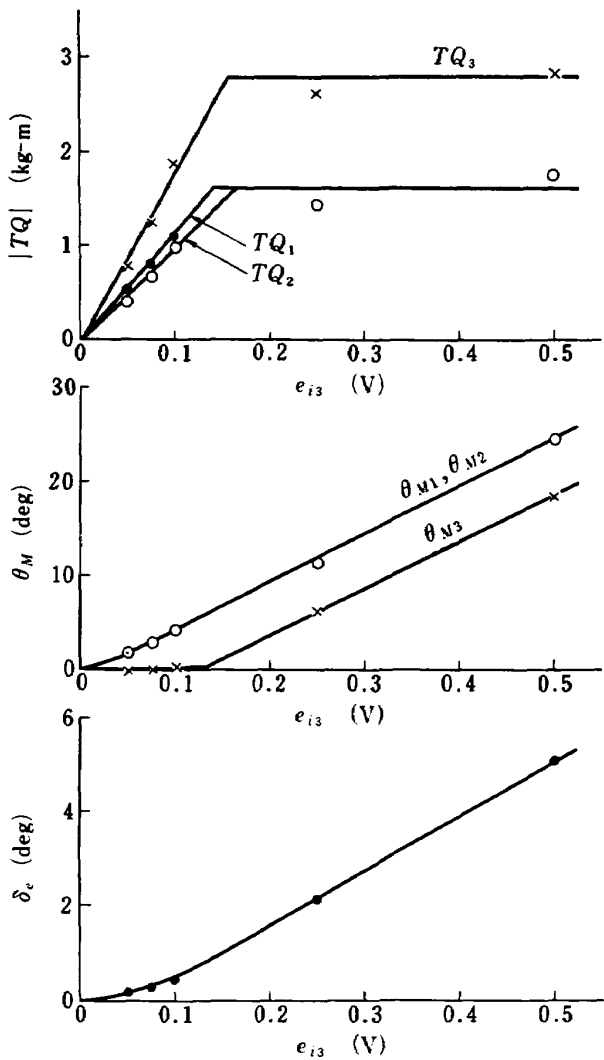


図 4.2.5 (b) CH 3 短絡故障実験結果 (85 KT 負荷)

1 サブシステムが故障した場合に、舵角に生じる誤差は、ハードオーバ実験を除き、いずれも $\pm 0.5^\circ$ 以内である（図 4.2.1, 図 4.2.3, 図 4.2.5 参照）。ハードオーバ実験では、ハードオーバした側の舵角誤差が、 0.8° 、その反対側で 0.3° 程である。これらの舵角誤差は θ_M に換算すると $2^\circ \sim 4^\circ$ 程度に相当する。

以上述べたように、1 サブシステム故障することによって、舵角には制御目標値 2° に対して、 $0.5^\circ \sim 0.8^\circ$ の誤差が生ずることが明らかになった。次に、これらの誤差が生ずる原因について考察することにする。

サーボモータが制御信号を受け、回転し始め、舵面が動き出すメカニズムは、図 4.2.8 に示す通りである。サーボモータの回転はギヤ G_1 (287:1, 5 段減速) で減速され、出力角 θ_M となる。これがクラッチ、トルクメータ、サーボマウント、ケーブルへと伝わる。

さらに、3 系統のケーブルを 1 系統にするセクタを経て、リングケージ L を通して舵面を動かす。ここで、変位量であるサーボモータ出力軸回転角 θ_M および舵角 δ_e の測定は、図 4.2.8 に示したように、フォローアップ信号 E_{FU} および舵角信号 E_{δ_e} による。したがって、 θ_M 、 δ_e の測定値には、ギヤ G およびリングケージ L のバックラッシュや不感帯、ケーブルの伸びなどにより誤差が生じることは十分考えられる。この内、サーボマウントとセクタを結ぶケーブルは、図 4.2.9 のように接続され、一種のスプリング k_1, k_2, k_3 を有するような挙動を示し、誤差になりうる要因である。すなわち、ケーブルの伸びがかなり影響していると考えられるので、以下これについて検討する。

実験 1~3 で得られた結果を、故障モード別に、サーボモータトルクと θ_M 、 δ_e の関係図に整理すると図 4.2.10 となる。図より明らかなように、モータトル

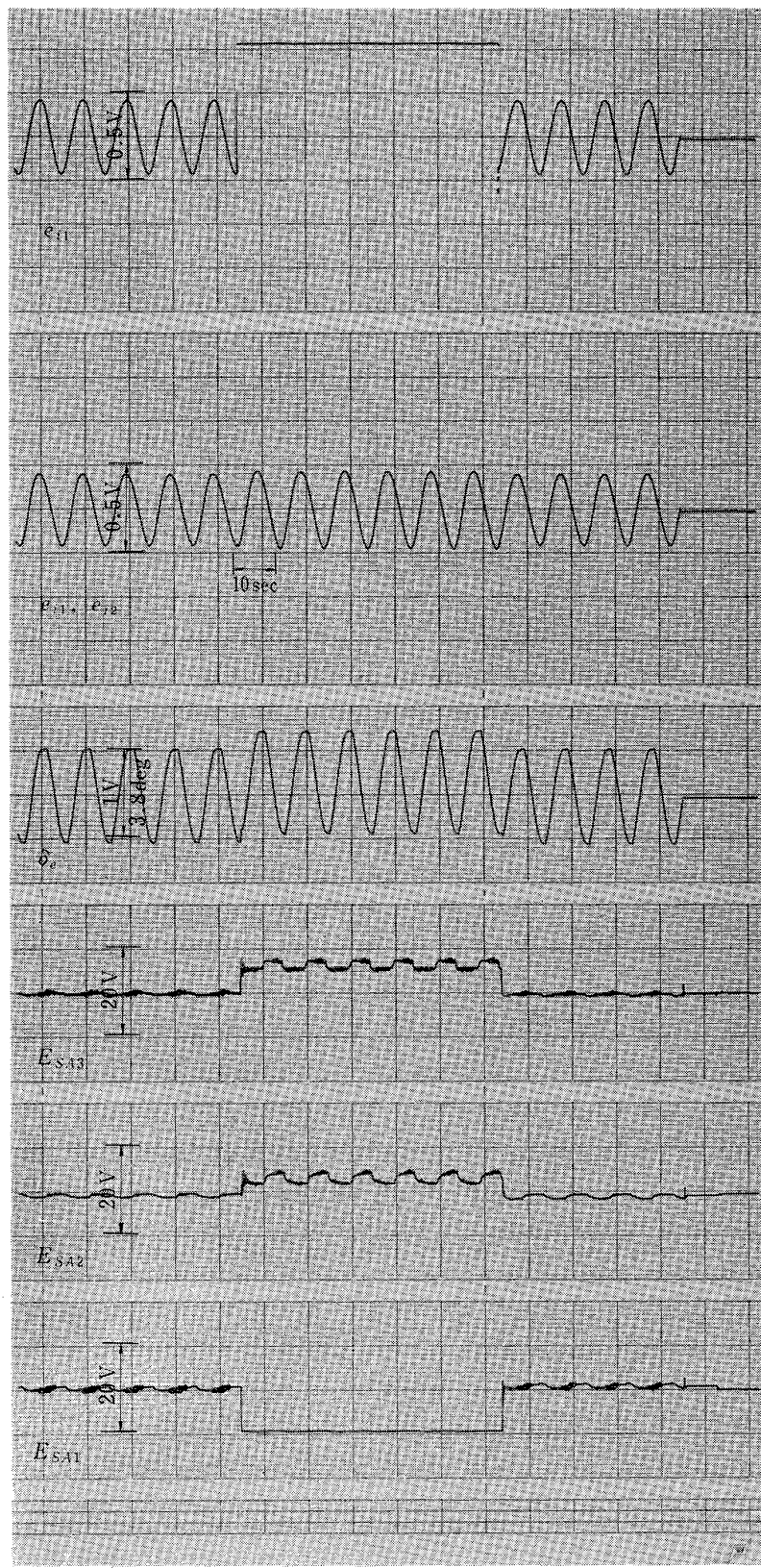


図 4.2.6 (1) ハードオーバー故障測定例 (CH 1 故障)

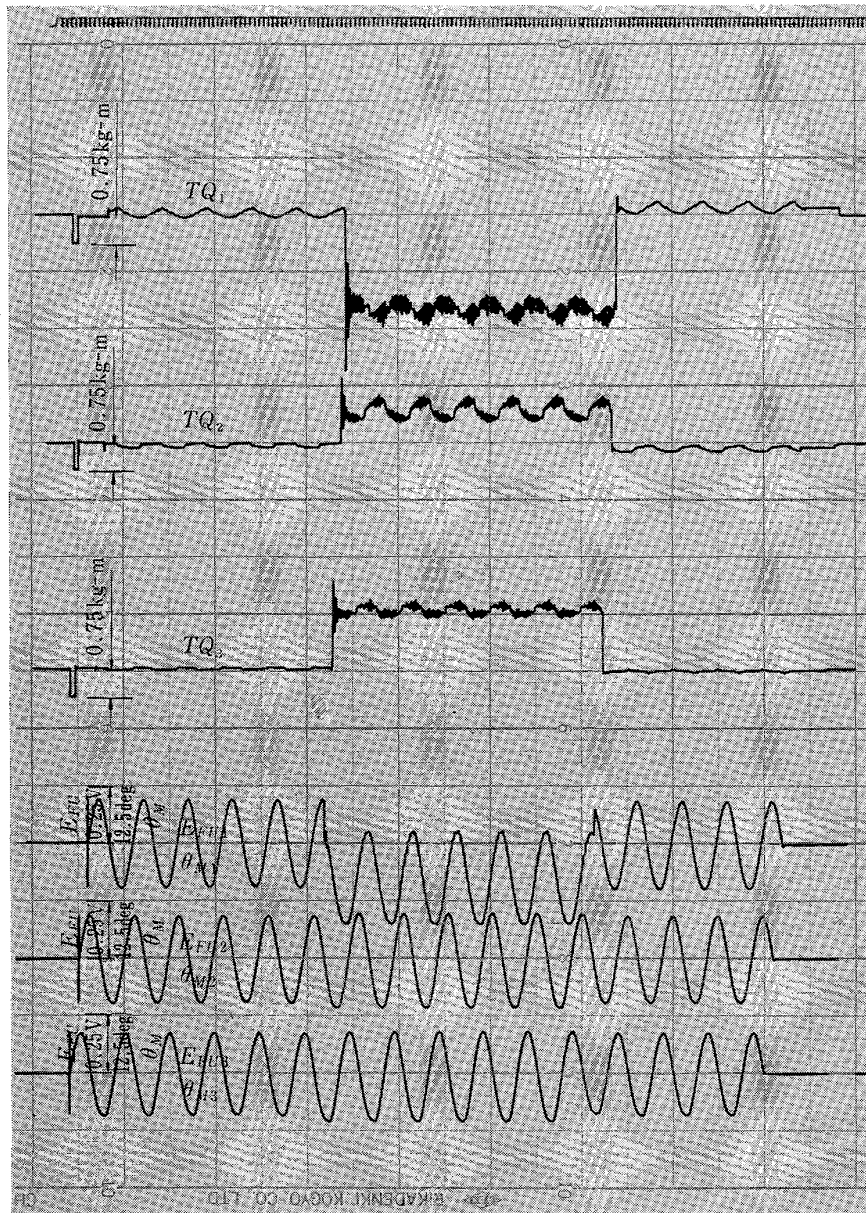


図 4.2.6 (2)

クが増大すると、ほぼトルクに比例して故障サブシステムのサーボモータ出力軸回転角度 θ_{M1} は (a) (b) 図では増大し、(c) 図では不動となる。これに対して、正常サブシステムの θ_{M2}, θ_{M3} は、(a) (b) 図では一定で動かず、(c) 図では目標通り一様に増大する。このように、故障と正常のモータ回転角の差がストールトルクに至るまで、トルクに比例して増大するということは、ケーブル等のリンクエージの間に剛性の低いものが存在するからである。その主なものはケーブルの伸びと考えられる。また、図 4.2.10 のトルク 2 kg-m における θ_{M1} と θ_{M2}, θ_{M3} の角度差は図示したようにほぼ 4° で各実験について一致している。ストールトルク付近では、故障のケースによって異なるが、図より $4^\circ \sim 7^\circ$ 程度の角度差であろうことが推察できる。正

常サブシステムは 2 サブシステムであるから、トルクは故障サブシステムの $1/2$ を受けもっている。したがって、故障サブシステムがストールトルクまで至っている場合には、この $1/2$ を各正常サブシステムが受けもっているので、この系統にも前述のケーブルの伸びが発生していると考えられる。ストールトルクの $1/2$ を受ける場合には先に述べた $4^\circ \sim 7^\circ$ の半分、すなわち $2^\circ \sim 3.5^\circ$ が、ケーブルの伸びにより舵角に影響を与える分となる。これを舵角に換算すると約 $0.4^\circ \sim 0.8^\circ$ になり、実験結果に現われた舵角誤差とよく一致する。

以上述べたように、実験 1~3 で得た結果を検討した結果、舵角誤差の主な原因是、ケーブルの伸びによると考えられるので、ケーブル自身の引っ張り、試験

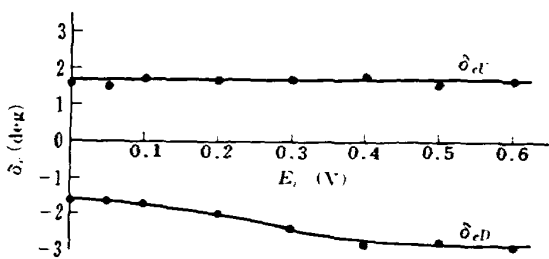
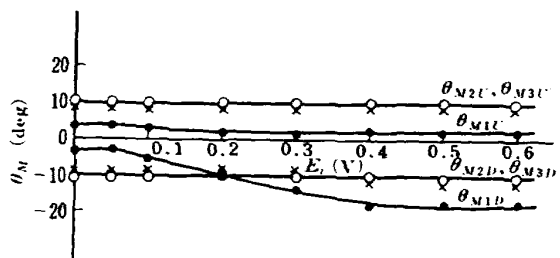
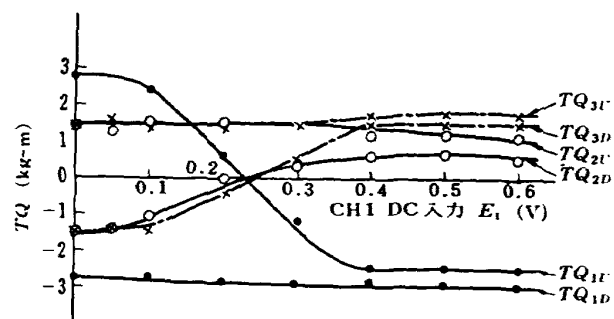


図 4.2.7 (a) CH 1 ハードオーバ故障実験結果
(85 KT 負荷)

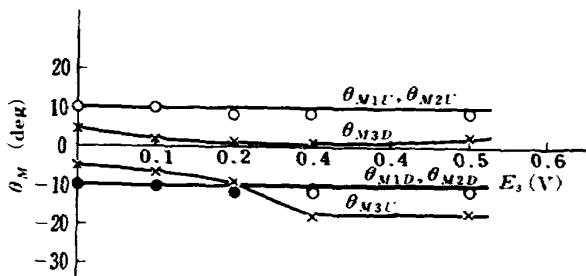
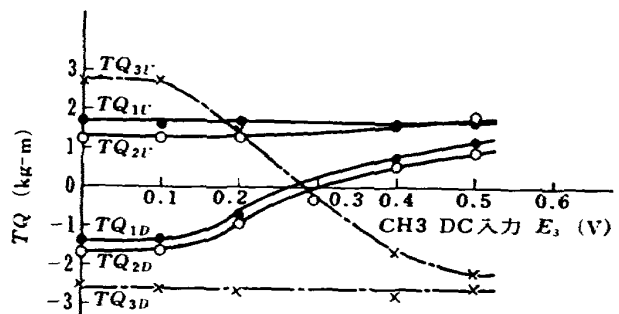


図 4.2.7 (b) CH 3 ハードオーバ故障実験結果
(85 KT 負荷)

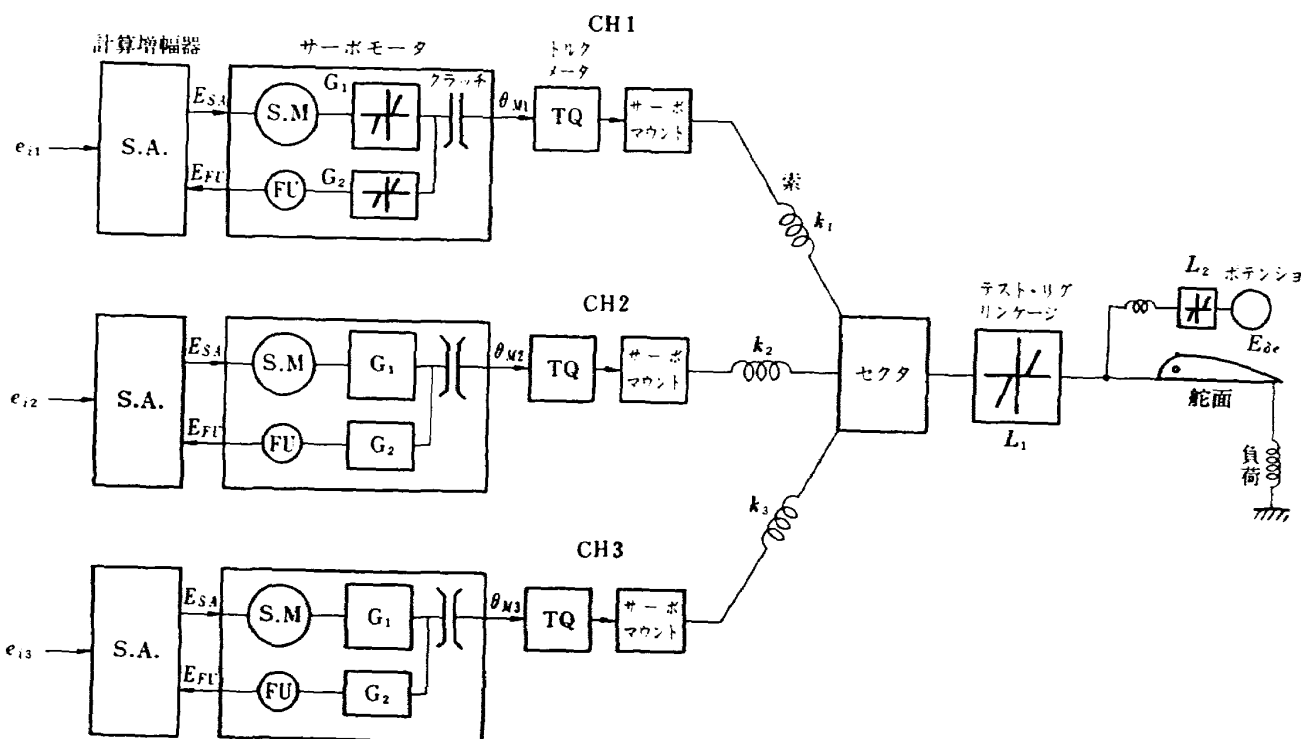


図 4.2.8 3重系サーボ機構

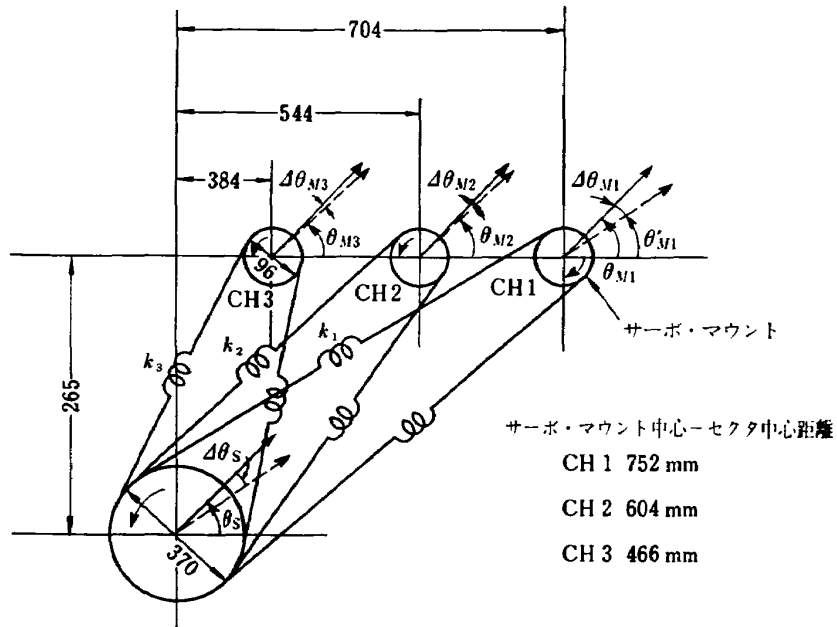


図 4.2.9 サーボ・マウントとセクタ間の位置

を行なった。以下に、引張り試験の結果と多重サーボ機構の舵角誤差がケーブルの伸びによるものかどうかを検討する。

試験に用いたケーブルは、CH 1 (657 mm) と CH 3 (398 mm) の2本で、使用した試験機は 100 トン引張り試験機 (0.5 トン・フルスケール・レンジ使用) である。引張り荷重の最大値を 50 kg までとしたが、これはサーボモータのストールトルクを 2.5 kg·m とすると、ケーブル張力は約 54 kg になることから最大引張り荷重を 50 kg に定めた。のびの量は最小目盛 0.01 mm のダイヤルゲージを用いて測定した。

図 4.2.11(a) は、荷重対重対伸びの試験の結果、同図 (b) は伸びの量をケーブル長で割ったひずみ量 ϵ と荷重の関係を示す。(b) 図より明らかのように、ひずみ量はケーブルの長短にかかわらずよく一致している。この曲線より単位荷重 (1 kg) 当りのひずみ量を求めると、 1.886×10^{-5} [1/kg] を得る。

一方、多重サーボ機構の実験結果図 4.2.10 のトルク対サーボモータ回転角の関係図より逆算して、単位荷重当たりのひずみ量を算出してみる。サーボマウント回転角 θ_M 、セクタ回転角 θ_s および舵角 δ_e の間の伝達比を図 4.2.12 に示す。セクタと舵角の間には、伸びやガタがないものとすれば、セクタ回転角 θ_s は $\delta_e/0.884$ に等しい。したがって、ケーブルの伸びはサーボマウント θ_M の動きに相当する伸びと、セクタ θ_s の動きに相当する伸びの差が真の伸びとなる。これをひずみ量の形で表わすと、

$$\epsilon = \frac{\Delta l}{l} = \frac{1}{l}(\Delta l_M - \Delta l_S) \quad (4.1)$$

ここに、

$$\Delta l_M = \frac{\pi}{360} \cdot D_M \cdot \Delta \theta_M \text{ [mm]} ; \text{ サーボマウントの回転角 } \Delta \theta_M \text{ に相当するケーブルの伸び}$$

$$\Delta l_S = \frac{\pi}{360} \cdot D_S \cdot \Delta \theta_S \text{ [mm]} ; \text{ 舵角 } \Delta \theta_e \text{ の回転に相当するケーブルの伸び}$$

$$l = 765 \text{ [mm]} ; \text{ サーボマウントとセクタ間のケーブル長}$$

$$D_M = 92 \text{ [mm]} ; \text{ サーボマウント直径}$$

$$D_S = 370 \text{ [mm]} ; \text{ セクタ直径}$$

$$\Delta \theta_M \text{ [deg]} ; \text{ 故障で生ずるサーボマウント微少回転角}$$

$$\Delta \theta_S \text{ [deg]} ; \text{ 故障で生ずるセクタ微少回転角}$$

$$[\Delta \theta_S = \Delta \theta_e / 0.884]$$

となる。

図 4.2.10 (Drift Failure) より単位トルク (1 kg·m) に対する $\Delta \theta_M$ と $\Delta \theta_e$ を読みとると、それぞれ、1.34 deg と 0.2 deg を得る。これらの値を (4.1) 式に代入すると 4.545×10^{-4} を得る。これは、トルク 1 kg·m 当たりのひずみ量であるから、さらに、単位張力 (1 kg) 当たりのひずみ量に換算すると、 2.09×10^{-5} [1/kg] となる。この値は先の引張り試験結果より得た単位張力当たりのひずみ量 1.886×10^{-5} [1/kg] によく一致しているとみてよい。

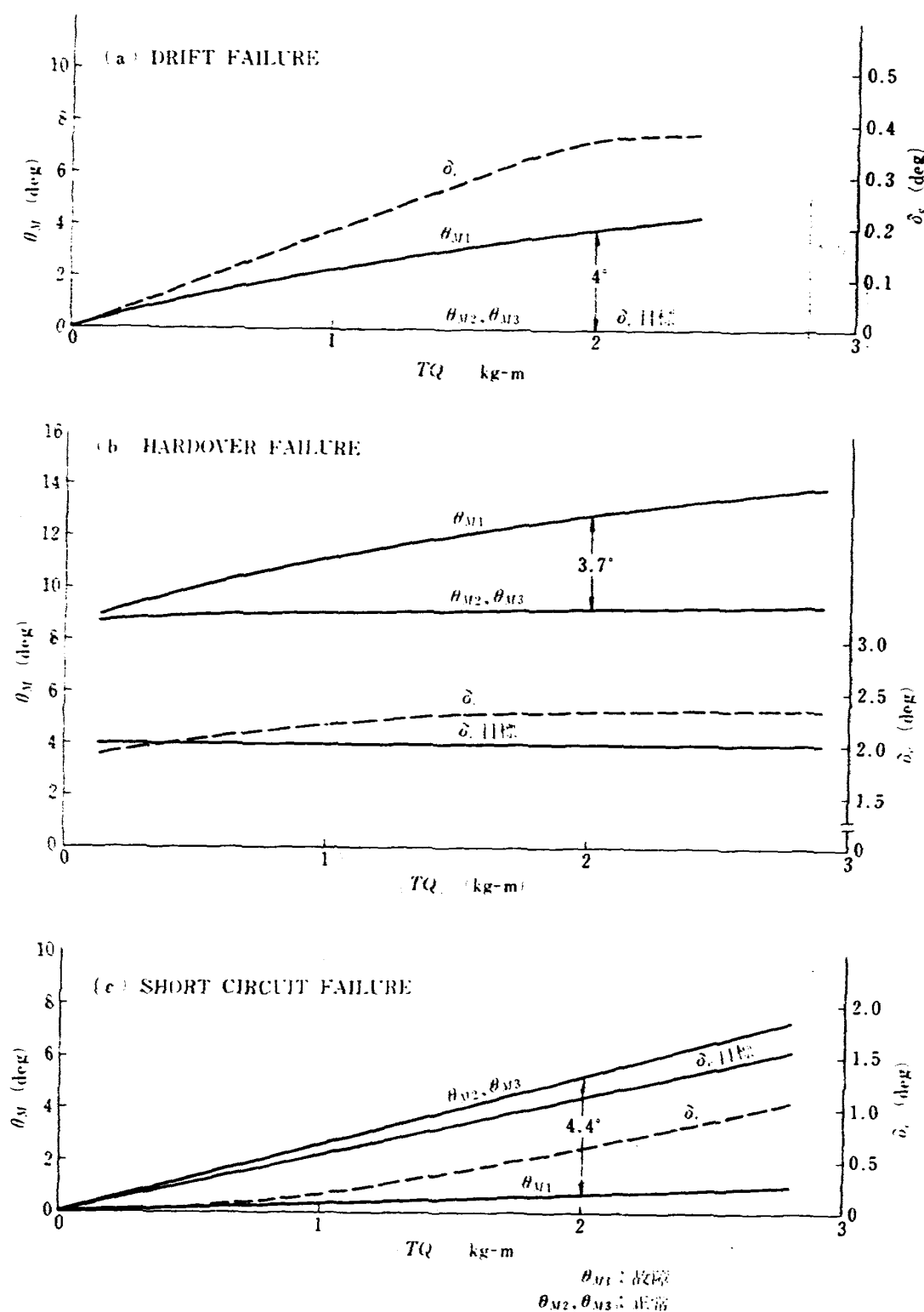


図 4.2.10 サーボモータ出力トルクと出力回転角の関係

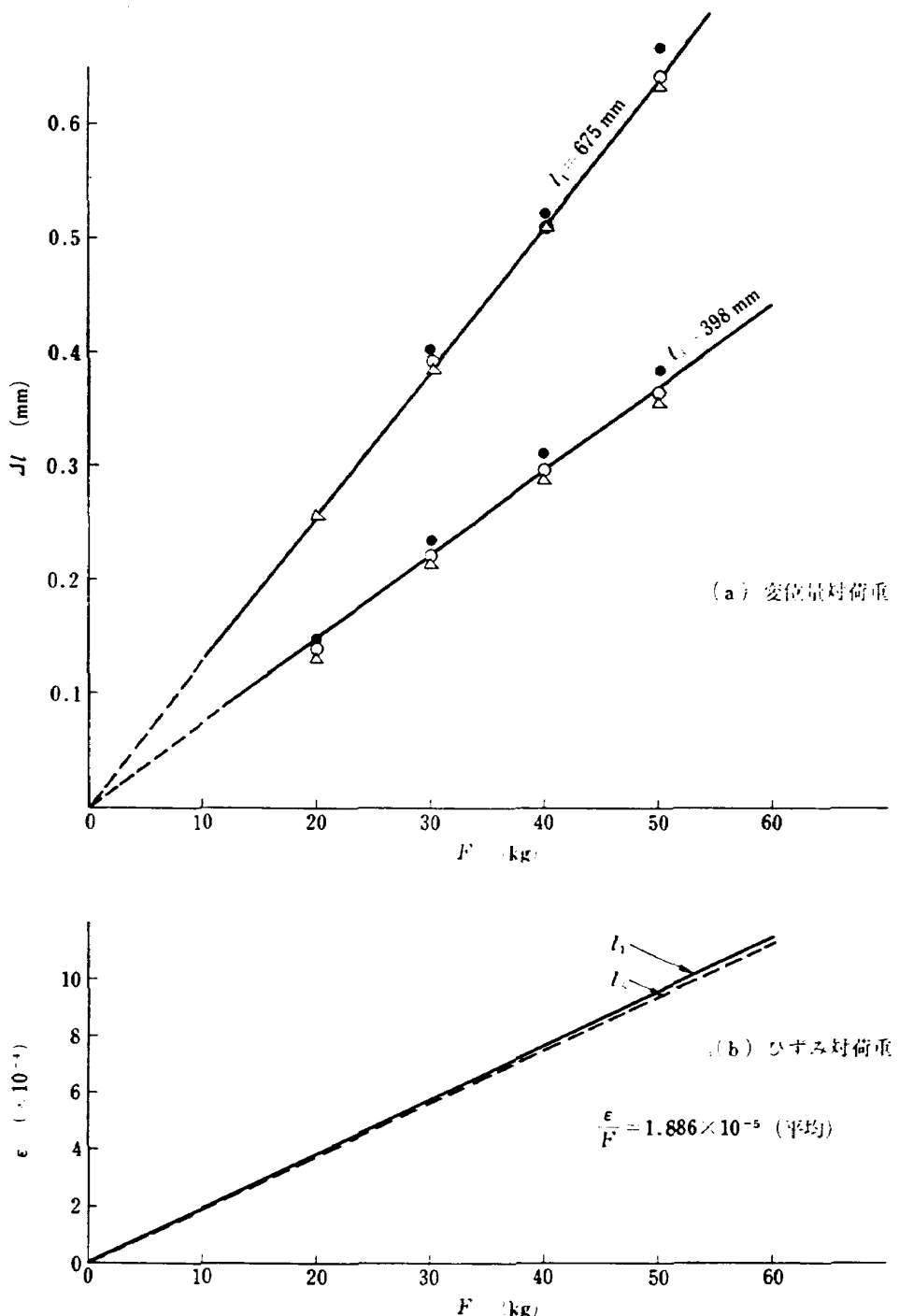


図 4.2.11 ケーブル引張試験結果

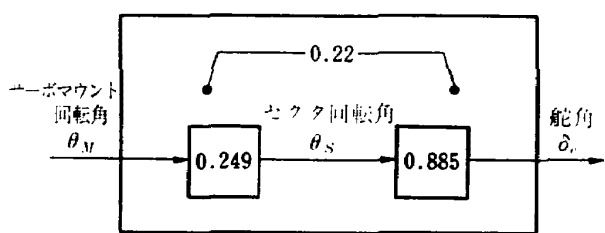


図 4.2.12 テストリグ昇降舵系リンク比

したがって、ケーブルの引張り試験の結果、非切離多重サーボ機構の試験で生じた、舵角誤差の主な原因是、ケーブルの伸びによるものであることが明らかと

なった。

5. まとめ

自動着陸用多重サーボ機構を試作し、単一系に関する試験および多重サーボ系に関する実験を行なった。

单一系に関する試験は、ほぼ満足のいく性能であることが示されたほか、多重サーボ系に関する実験として、3重非切離方式について実験を行ない、下記の結論を得た。

(1) 1サブシステムのゲインが変化する故障 (ド

リフト故障:

正常サブシステムに比べて、故障サブシステムの入力が ± 0.15 V (舵角で $\pm 1.5^\circ$ に相当) の差を生ずると、故障サブシステムはストール・トルクに達する。この点での舵角誤差は $\pm 0.5^\circ$ で、これ以上増えない。したがって、この多重サーボ機構においてはゲイン変化が大幅に生じても、舵角誤差は $\pm 0.5^\circ$ 以内である。

(2) 1 サブシステム入力または出力が零になる故障 (短絡故障):

舵面操舵中突然、何らかの原因で 1 サブシステムの入力または出力が零となった場合、本多重サーボ機構では舵角誤差は 0.5° 以内である。

(3) 1 サブシステムがハードオーバーする故障 (ハードオーバー故障):

舵面操舵中突然 1 サブシステムにハードオーバー故障が生じ、サーボモータがストールトルクに達するような場合、それが生じた側の舵角誤差は 0.8° 、反対側で 0.4° である。

ハードオーバー故障を除き、1 サブシステムに生じた故障によって受ける舵角誤差は $\pm 0.5^\circ$ 以内である。ハードオーバー故障を含めても $\pm 0.8^\circ$ 以内の舵角誤差におさまることが明らかになった。これらの誤差は主にケーブルの伸びによるもので、この点を考慮して 3 台のサーボモータとセクタとを結ぶケーブルの伸びを減少する工夫をすれば、さらに誤差も減るものと考えられる。

以上の結果より明らかなように、何らかの方法で、3 台のサーボモータの出力軸角 θ_m 間に誤差が生じないようにし、故障時の舵角誤差を小さくすることによって、本 3 重非切離方式の実現可能性がある。しかし、これまでにも述べたように、入力側からみて、わ

ずか 0.15 V の電圧差が、サブシステム間に生ずると、ストールトルクに達するので入力レベルをそろえる対策を講じないかぎり、常にサブシステム相互間にストレスがおよぼし合って信頼度を下げる恐れがある。

このような 3 重非切離方式を実用化するかどうかについては、まだ解決すべき問題点がある。すなわち、サブシステム間にストレスがあるので、構造、強度試験、信頼性試験等を行なって信頼性、安全性を確認する必要がある。しかし、今後の課題として、3 重切換え方式を採用するにしても、まず基礎として非切離方式の動作、機能が明確になっている必要がある。本実験はそのような目的を主目的として行なったものであり、その目的に対しては、十分な成果が得られたものと考えられる。

また、サーボモータ出力集合部のケーブルの伸びが故障時の誤差になり得る反面、各チャンネル間の誤差に対してもバッファ効果もあるような現象もみられた。これについては、引き続き、デジタルシミュレーション解析等によって検討中である。

終りに、本自動着陸用多重サーボ機構は、東京航空計器 K.K. によって製作されたことを付記し、ここに厚く御礼を申し上げる。

参考文献

- 1) 松浦、樋口、池谷、堀川、百名、三好、村上、岡部; 汎用飛行シミュレータ設備の計画、構造および特性、航技研研究報告 TR-70, 1965 年 1 月
- 2) 堀川、小川、永安; 自動着陸研空用テストクグについて、航技研技術資料 TM-248, 1973 年 月
- 3) A. M. Fuchs; Testing Servomechanisms, Control Engineering, Sept. 1956.

既 刊 資 料

TM- 1 高マッハ数風洞について (I)	1961年11月	平木 一, 清水 福寿 橋本 登
TM- 2 航空技術研究所計数型電子計算機設備 プログラムライブラリー (I)	1962年 2月	樋口 一雄, 戸川隼人 三好 甫, 高橋 利之 能美 力, 板垣 芳雄 鳥海 良三, 佐藤 保子
TM- 4 18cm×20cm 超音速風洞について	1962年 5月	長州 秀夫, 伝田 幸雄
TM- 5 遷音速流の線型理論	1962年 8月	細川 巍
TM- 6 18cm×18cm 遷音速風洞整備試験	1962年 8月	橋本 登, 井上 政一
TM- 7 慣性力形疲労試験機	1962年 8月	竹内 和之, 山根皓三郎
TM- 8 アルミ合金の前歴が疲れ寿命におよぼす実験的研究	1962年 9月	池田 為治, 坂元思無邪
TM- 9 方向性次元解析と相似解に関する覚書	1963年 2月	甲藤 好郎, 小出 勉
TM-10 DATATRON 205 用 ALGOL 58 使用法について	1963年 2月	高橋 利之
TM-11 光弾性による高速車盤の縞模様	1963年 2月	永井 文雄
TM-12 コーティングの断熱効果に関する実験	1963年 3月	竹中 幸彦, 小川 鉱一 林 洋一
TM-13 遷音速における 45° 後退角翼の予備的 フラッタ実験	1963年 3月	中井 岷一, 小原 瑛
TM-14 変断面片持梁固有振動数の一計算方法について	1963年 3月	中井 岷一, 小原 瑛 鳥海 良三, 安藤 泰勝
TM-16 フラッタ試験設備測定部変換ノズルの予備試験	1963年 4月	中井 岷一, 橋爪 宏 高木 俊朗, 橋本 登
TM-17 VTOL 機用 Jet Lift Engine に関する一考察	1963年 6月	鳥崎 忠雄, 松木 正勝 山中 竜夫, 藤井 昭一
TM-18 ヘリコプター振動のパワースペクトル解析	1963年 6月	小野 幸一
TM-19 吹出式超音速風洞による実験データの処理方式について (I)	1963年 6月	新井 忠, 原 亘利
TM-20 1m × 1m 吹出式超音速風洞における AGARD 標準模型 B の三分力試験	1963年 7月	高木 廣治, 谷喬 斎藤 秀夫, 新井 忠
TM-21 国産中型輸送機 YS-11 主翼疲労試験 (第 I 報)	1963年 9月	竹内 和之, 飯田宗四郎 北谷 康勇, 中井 治夫
TM-24 円輪と薄肉円筒の回転強度の関係	1963年11月	永井 文雄
TM-25 DATATRON 205 用 ALGOL 58 の Procedures ライブラリー	1964年 1月	高橋 利之
TM-26 吹出式風洞の圧力制御 (フラッタ試験設備の場合)	1964年 1月	橋爪 宏, 中井 岷一
TM-28 一段式観測ロケットの超音速風洞試験	1964年 1月	谷喬, 原 亘利 榎原 盛三, 外立政隆
TM-29 遷音速フラッタ試験設備の改造および整備試験	1964年 2月	中井 岷一, 橋爪 宏 安藤 泰勝, 高木 俊朗
TM-30 二段式ロケット飛しょう体の揚力および圧力中心推定法	1964年 3月	小橋安次郎, 宮沢政文
TM-31 亜音速ジェット輸送機の遷音速風洞における試験	1964年 3月	河崎 俊夫, 竹内 理
TM-32 遷音速風洞の防音	1964年 4月	牛田 健二, 高橋 宏
TM-33 非定常境界層の遷移の研究に使用された定温度型熱線風速計について	1964年 4月	横並 敬之, 山本 稔義

TM-34	極超音速風洞ノズルの境界層補正について	1964年5月	長洲秀夫
TM-37	気体の不完全性を考慮した極超音速風洞ノズルの設計計算法	1964年5月	毛利 浩
TM-38	AGARD-A 標準模型の超音速三分力試験	1964年6月	高木廣治, 斎藤秀夫 石原久蔵
TM-39	相似極超音速流におかれた半球面上の境界層の遷移に及ぼす粗さと冷却の結合影響	1964年7月	石井孝雄
TM-40	国産中型輸送機 YS-11 脊体疲労試験(1)	1964年9月	竹内和之, 川島矩郎
TM-41	抵抗線歪ゲージのゲージ率測定	1964年10月	田畠淨治, 大坪孔治 滝沢 実
TM-42	実在着氷条件の測定について	1964年10月	古関昌次, 田寺木一 泉 日出夫
TM-44	高負荷燃焼器(アニュラ模型)の実験結果	1964年12月	大塚貞吉, 鈴木邦男 松本宏, 石井浅五郎 広木強, 山中國雍
TM-46	翼洞結合金具の疲労特性	1964年12月	竹内和之, 藤枝郭俊
TM-47	ローター後流中のヘリコプター胴体の抵抗について	1965年1月	幸尾治朗, 岡 達一
TM-48	極超音速風洞用ペブル加熱器の予備実験	1965年2月	平木一, 橋本登崇 林二誠, 吉永富夫
TM-49	Queen-Air 機の失速特性について	1965年2月	幸尾治朗, 岡 達一 照井祐之, 鎌田幸男
TM-50	LS-A型ロケットの曲げ剛性および振動試験について	1965年5月	中井瑛一, 塙武敏 泉 日出夫
TM-51	超音速風洞空力データ表示記録装置	1965年5月	谷喬, 高島一明 原直利, 近藤洋史
TM-53	ベクトルのノルムと行列のノルム—数値解法の収束条件その他への応用—	1965年5月	板垣芳雄
TM-54	熱衝撃試験用風洞整備試験	1965年5月	武藤洋治郎, 池田為治 坂元思無邪, 光山敏雄
TM-55	ロケット模型風洞試験における超音速相似則の応用	1965年5月	河崎俊夫, 谷喬
TM-56	2024-T4アルミニウム合金平滑丸棒の常温回転曲げ疲労試験	1965年7月	石田誠, 河野哲雄
TM-57	極超音速における軸対称物体の前面抵抗	1965年7月	曾我國男
TM-58	試験用飛しょう体の超音速風洞試験	1965年8月	斎藤秀夫, 木村友昭
TM-59	ジェットリフトエンジン空気取入口の実験(I)	1965年9月	近藤博, 増田惣平
TM-60	吹出式超音速風洞における実験データの処理方式について(II)	1965年9月	原直利, 高島一明 関根英夫, 中正夫 戸川保子
TM-61	クインエア機の風洞試験	1965年9月	広末健一, 矢沢健司 塙野雄吉, 田村能村 佐野四郎, 別府信宏
TM-62	高温歪ゲージの温度特性試験	1965年10月	江川幸一
TM-63	2024-T3アルミニウム合金の有孔補強平板の軸荷重による疲労特性	1965年10月	飯田宗四郎
TM-64	応力集中による材料の疲れ強さに関する実験(I)	1965年10月	池田為治, 坂元思無邪 光山敏雄

TM-65	ジェットエンジンの翼の固有振動に関する実験	1965年11月	武内澄夫, 宮地敏雄 星谷昌二
TM-69	質量分析計による水蒸気を含む試料のガス分析	1965年12月	斎藤 隆, 堀内正司 中村 浩子
TM-71	可動アイアンバードの構造および機能	1965年12月	機体第一部, 計測部 原動機部
TM-72	地上付近の風の影響による小型ロケットの姿勢角変化	1965年12月	戸川隼人, 石黒登美子
TM-73	固定端を有する薄肉円筒殻の自由振動について	1966年1月	田寺木一, 泉日出夫
TM-74	回転振動試験装置の計画, 構造および特性	1966年2月	武内澄夫, 宮地敏雄 星谷昌二
TM-75	高マッハ数風洞の消音装置について	1966年2月	牛田健二, 清水福寿 吉永崇
TM-76	コーティングの断熱効果のアナログシミュレーション	1966年2月	小川鉄一
TM-77	テレメータ電波の偏波面の回転を利用したロケットのスピinn測定について	1966年3月	田畠淨治, 桜井善雄 三浦雅男
TM-78	昇降舵の操舵力特性に関するシミュレータ解析	1966年3月	堀川勇壮, 森幹彦 中野佳直
TM-79	テレメータ機上装置の小型化の研究	1966年3月	新田慶治
TM-80	安定制御のための一計算法	1966年3月	植崎哲二
TM-81	吹出式超音速風洞の超動時および停止時における過負荷防止装置	1966年3月	石原久蔵, 斎藤秀夫 外立政隆, 柳原盛三 宗美均
TM-82	ピトー管による境界層速度分布測定について	1966年4月	長洲秀夫, 柏原登喜子
TM-83	ジェットリフトエンジン空気取入口の実験(II)	1966年4月	近藤博, 増田惣平
TM-84	二段ロケットの低速風洞試験	1966年7月	毛利浩, 田村敦宏 佐野四郎, 能村実
TM-85	航空機の滑走路走行時の振動に関する実験的研究	1966年8月	小野幸一
TM-87	極小型超音速機用姿勢制御装置の特性解析	1966年8月	池谷光栄, 畑山茂樹
TM-88	プロペラ後流偏向型 STOL 機の風洞試験(I)	1966年9月	大丸知夫, 岡部祐二郎 北村清美, 川幡長勝 木村友昭
TM-89	有孔板の振動について	1966年9月	川井忠彦, 泉日出夫
TM-90	地上付近の横風の影響による小型ロケットの方位角変化	1966年9月	戸川隼人, 石黒登美子
TM-91	高速タービン翼列二次元試験	1966年10月	近藤博, 襟田光弘 山崎紀雄
TM-92	リフトジェットエンジン試験設備(I) 一台上運転設備一	1966年10月	大山耕一, 吉田晃 中山晋, 菅原昇 五味光男
TM-94	J-3ジェットエンジン用タービン動翼の固有振動特性	1966年11月	武内澄夫, 宮地敏夫 星谷昌二
TM-95	超軽量軸流圧縮機動翼の固有振動特性	1966年11月	武内澄夫, 宮地敏雄 星谷昌二
TM-96	2024-T4および7075-T6有孔平板の曲げ疲労試験と2024-T4平滑丸棒の軸荷重疲労試験	1966年11月	佐野政明, 茂岡一洋
TM-97	高マッハ数風洞について(II)	1967年1月	吉永崇, 井上建二 広田正行, 橋篤志
TM-98	40kW プラズマ発生装置の諸特性	1967年1月	野村茂昭, 相原康彦

TM- 99	搭載機器用環境境試験装置の特性	1967年 2月	大月 正男, 田畠 浩治, 鈴木 孝雄 内居繁治
TM-100	二連列リフトエンジンの吸込み抵抗	1967年 3月	近藤 博, 大城章一郎
TM-101	低圧環境下における固体ロケットモータの性能	1967年 3月	望月 昌, 斎藤 信 五代富文, 伊藤克弥 湯沢克宜
TM-102	弾性支持片持板の振動	1967年 3月	塙武敏, 築地恒夫 越出慎一, 林洋一
TM-103	結合梁の振動について	1967年 3月	築地恒夫, 林洋一
TM-104	平板翼模型の固有振動モードの測定	1967年 4月	中井暎一, 森田甫之
TM-105	非定常境界層方程式を含む放物型微積分方程式の数値解法	1967年 4月	関口清子
TM-106	動安定微係数測定用風洞天秤について	1967年 5月	高島一明, 桜原盛三 高原直利, 北出大三 金成正好
TM-107	プロペラ後流偏向型 STOL 機の風洞試験 (II)	1967年 6月	犬丸矩夫, 岡部祐二郎 北村清美, 川幡勝昭 高橋伸, 木幡村友
TM-108	インダクタンス型小型圧力変換器の製作とその応用	1967年 7月	長洲秀夫, 柳沢三憲
TM-109	ロケットの飛しょう径路計算のためのプログラム	1967年 7月	戸川隼人, 石黒登美子
TM-110	二次元スラットおよびスロッテッドフラップの実験的研究 (I)	1967年 8月	犬丸矩夫, 北村清美 川幡長勝
TM-111	リフトジェット VTOL 機の離陸径路に関する近似解	1967年 8月	西村博史
TM-112	極超音速風洞ペブル加熱器の特性	1967年 8月	橋爪 宏, 橋本 登
TM-113	リフトジェットエンジン試験設備(II) —計測設備—	1967年 9月	森田光男, 岩部柱相 閑根静雄, 武田克巳
TM-114	五段連音速軸流圧縮機の空力設計	1967年 9月	藤井昭一, 松木正勝 五味光男
TM-115	燃料蒸発管に関する研究 (I)	1967年 9月	大塚貞吉, 鈴木邦男 田丸卓, 乙幡安雄
TM-116	高負荷燃焼器の空気孔からの流れについて	1967年 9月	鈴木邦男, 相波哲朗
TM-117	ロケット用テレメータ機上装置の集積回路化	1967年 9月	新田慶治
TM-118	操縦桿レート信号によるアイアンバード制御の安定効果とパイロットのモデルについて	1967年 9月	村上 力, 真柳光美
TM-119	ペーン型気流方向検出器の特性	1967年11月	田畠 浩治, 松島弘一 成田健一, 塚本憲男
TM-120	円錐管レンズの設計とその応用	1967年11月	山中龍夫, 奥祖澄男
TM-121	大きなマトリクスの逆行列計算および連立一次方程式の計算のためのプログラミング技術	1967年11月	戸川隼人, 戸川保子
TM-122	NAL-7-P ロケットの強度および燃焼試験結果	1967年11月	竹中幸彦, 古田敏康 小川鉄一, 朝田洋雄 豊原恒彦, 五代富文 湯沢克宜, 伊藤克弥 西村久男
TM-123	“NAL-16・31” および “NAL-25・31” 二段ロケットの振動試験	1967年11月	中井暎一, 古川昌次 田寺木勝一, 関木俊之 安藤泰勝, 高木南 岸正勝, 森田地 太田幹雄, 田中孝 西田幹雄, 次郎之 太田幹雄, 田中孝
TM-124	吹出式超音速風洞の集合洞圧力制御について	1967年12月	外立政隆, 近藤洋史 原宜利

TM-125	航技研 1 m × 1 m 吹出式超音速風洞におけるハーフモデル試験について	1968年2月	石原久蔵, 原直利 榎原盛三, 関根英夫
TM-127	2024-T 3 アルミニウム合金の 3-bay 有孔補強平板の軸荷重による疲労特性	1968年4月	飯田宗四郎, 猿本光明 斎藤信一郎
TM-130	リフトエンジンの自然吸込みについて	1968年4月	近藤 博, 大城章一郎
TM-131	遷音速タービン翼列二次元試験 (III)	1968年5月	近藤 博, 菅田光弘 山崎紀雄, 古川昇
TM-132	行列の最小固有値の一計算法	1968年5月	戸川隼人, 戸川保子
TM-133	フィラメント・ワインディング円筒の強度特性に関する研究	1968年5月	竹中幸彦, 斎藤浩一郎 古田敏康, 斎藤島鉄一郎 三木茂夫, 小川鉄一郎 越出慎一, 朝田洋雄 熊倉郁夫, 大竹邦彦
TM-134	AGARD 標準模型 HB-1, HB-2 の超音速風洞試験	1968年5月	斎藤秀夫, 石原久蔵 原根英夫, 野田順一
TM-135	歪ゲージの自己加熱による歪ドリフト	1968年5月	小川鉄一, 遠藤修司
TM-136	“NAL-16・31” および “NAL-25・31” 二段ロケット結合部の曲げ剛性試験	1968年5月	中井暎一, 飯田宗四郎 高木俊朗, 安藤泰勝 菊地孝男
TM-137	ロケットの三次元の運動の方程式および HITAC 5020 による軌道計算のためのプログラム	1968年5月	毛利 浩
TM-138	片持板の振動解析に関する考察	1968年6月	堀武敏, 越出慎一 林洋一
TM-139	薄板構造の疲れき裂伝ば実験	1968年6月	竹内和之, 野原利雄 飯田宗四郎
TM-140	二次元スラットおよびスロッテッドフラップの実験的研究	1968年7月	犬丸矩夫, 北村清美
TM-141	超音速二次元翼列予備実験風洞について	1968年7月	近藤博, 坂口一晋 八山優, 高森一晋
TM-142	二次元スラットおよびスロッテッドフラップの実験的研究 (III)	1968年7月	犬丸矩夫, 高橋伸
TM-143	端面一体巻きフィラメント・ワインディング容器の静圧強度および疲れ強度	1968年8月	竹中幸彦, 朝田洋雄 野口義男
TM-144	真ひずみ計の試作	1968年8月	竹中幸彦, 朝田洋雄 野口義男
TM-145	スピンドルを伴うロケットの運動を計算するプログラム	1968年8月	戸川隼人, 石黒登美子 山本浩道
TM-146	双発 STOL 機の飛行試験 (実用運用包回線および離着陸特性)	1968年8月	幸尾治朗, 岡遠一 塙野雄吉, 鎌田幸男 小野孝次
TM-147	浮動振子型加速度計の試作	1968年9月	大月正男, 鈴木孝雄 円居繁治
TM-148	吹出しフラップ翼の高揚力特性	1968年9月	小橋安次郎, 宮沢政文 西武徳
TM-149	NAL-16-TR ロケットの研究	1968年10月	ロケット性能研究室
TM-150	リフトジェット VTOL 機の着陸における水平方向の減速について	1968年11月	西村博史
TM-151	フラッタ解析法の再検討 (フラッタ解析法の研究 その 1)	1968年12月	市川輝雄
TM-152	ノズル内の突起物によるロケットエンジンの側分力	1969年1月	橋崎哲二, 中野富雄
TM-153	FA-200 改機の風洞試験 (I) プロペラ付き	1969年2月	廣末健一, 坂井紀穂 高橋宏, 綿貫忠晴

TM-154	FA-200 改機の風洞試験 (II) 高揚力装置付き	1969年 2月	廣末 健一, 木村 友昭 高橋 宏, 綿貫 忠晴
TM-155	極超音速風洞 M7 ノズル較正試験	1969年 2月	橋本 登, 吉沢 昭 穂積 弘一
TM-156	自動制御系の動特性を計数型電子計算機により模擬するための汎用プログラム	1969年 3月	戸川隼人, 丸山治雄
TM-157	機上用超小型エンコーダの研究	1969年 3月	中 正夫, 山本芳樹 大石 晃
TM-159	可動アイアンバードによる姿勢制御の実験	1969年 5月	西村博史, 藤枝郭俊
TM-160	極超音速風洞計測装置について	1969年 7月	長洲秀夫, 吉沢 昭 松崎貴至
TM-161	燃料蒸発管に関する研究 (II) —加熱蒸発管の燃料未蒸発分捕集—	1969年 8月	鈴木邦男, 田丸 卓 乙幡安雄
TM-162	境界層内圧力変動および板の振動変位の測定 (I)	1969年 9月	藤森義典, 山崎 浩
TM-163	ある双発プロペラ STOL 機の動安定風洞実験	1969年 9月	別府護郎, 鈴木友昭
TM-164	ブレードのフリッピング運動をバネで拘束したロータのピッチダンピングについて	1969年10月	別府護郎, 岡 達一
TM-165	フェノール系複合材の環境試験結果	1969年11月	古田敏康, 野口義男
TM-166	ガスターイン用缶形燃焼器における燃焼領域のガス組成と燃焼状態	1969年11月	大塚貞吉, 斎藤 隆 堀内正司, 本間幸吉 宮坂 彰
TM-167	YS-11 A-300型輸送機の胴体疲労試験 —中部胴体前方大型貨物口部および後方乗降口部付近—	1970年 1月	竹内和之, 川島矩郎 熊倉郁夫, 松岡陽一
TM-168	ダンピングメータの試作	1970年 2月	柳沢三憲
TM-169	ジェットエンジン燃焼器出口ガス流の乱れの測定 (I) —冷却フィルムプローブによる方法—	1970年 2月	相波哲朗
TM-170	JR エンジンの燃焼器に起きた振動燃焼	1970年 2月	鈴木邦男, 石井浅五郎 山中國雍
TM-171	缶形燃焼器 (低圧・低温系) 試験設備による航空計器の氷結 (着氷) 試験	1970年 3月	鈴木邦男, 相波哲朗 本間幸吉, 服部宣夫
TM-172	自動追尾型風向風速測定器	1970年 3月	川幡長勝, 中谷輝臣
TM-173	FA-200 改機の動安定微係数	1970年 3月	遠藤 浩, 林 良生 海老沼幸成, 中谷輝臣
TM-174	遷音速風洞動安定測定装置の構造と作動	1970年 4月	小橋安次郎, 河野長正 西 武徳, 宮沢政文
TM-175	NAL-16・31D型ロケットの研究試作	1970年 5月	五代富文, 近藤洋史 中井嘆一, 田畠淨治
TM-176	非対称自由流線の一計算法	1970年 5月	高橋 伸
TM-177	小型固体ロケットモータの振動燃焼実験 —パルス法による中周波振動燃焼の研究—	1970年 5月	五代富文, 伊藤克介 西村久男, 湯沢克宜 柴藤羊二
TM-178	大型低速風洞動安定微係数測定装置	1970年 5月	廣岡貴一, 遠藤 浩 戸田亘洋, 岡部祐二郎
TM-179	風洞天秤の試作	1970年 5月	金成正好, 北出大三
TM-180	ジェットエンジン燃焼器出口ガス流の乱れの測定 (II) —レーザのドップラ効果を利用する方法—	1970年 5月	相波哲朗
TM-181	航空機の乗り心地について	1970年 6月	幸尾治朗

TM-182	排気系障害板の模型実験	1970年10月	田辺義一
TM-183	ロケット模型の大型低速風洞試験	1970年9月	近藤洋史, 高橋宏 桑野尚明
TM-184	金属線へ衝突する液滴の現象	1970年9月	田丸卓, 乙幡安雄
TM-185	推進エンジン用空気取入口の予備実験	1970年9月	近藤博, 石賀保正
TM-186	NAL-25・31型ロケットの研究試作および飛しょう実験	1970年11月	宇宙研究グループ
TM-187	推力300kg ジンバル液体ロケットエンジンの揺動特性(I)	1970年11月	檜崎哲二, 中野富雄 橋本亮平, 竹花真一郎
TM-188	自由飛行模型 FFM-10 の空力微係数における機体弹性変形の影響について	1970年12月	河崎俊夫, 河本巖 戸田勸
TM-189	燃料蒸発管に関する研究(III) 一管内の燃料・空気二相流への熱伝達—	1970年12月	田丸卓, 乙幡安雄 鈴木邦男
TM-191	大型電子計算機プログラム・ライブラリ	1970年12月	戸川隼人, 磯部俊夫
TM-192	極超音速風洞 M9ノズル校正試験	1971年1月	長洲秀夫, 橋本登 穂積弘一, 松崎貴至
TM-194	航空機のSTOL性に関する一考察	1971年1月	田辺義一
TM-195	曲面壁上の噴流に対する噴出孔の形状、配列の効果について	1971年1月	西村英明, 白井弘 井上重雄, 三村富嗣雄
TM-196	NAL-16H型ロケットの研究試作	1971年1月	宇宙研究グループ
TM-197	二次元煙風洞について	1971年1月	高橋宏, 戸田亘洋 白井正孝
TM-198	等高線を描かせるプログラム	1971年1月	磯部俊夫
TM-199	航空機用ヒーターの燃焼器の開発実験	1971年2月	堀内正司, 本間幸吉 矢萩恵一
TM-202	単発STOL実験機に関する研究 —テレメータ実験局の電界強度測定—	1971年6月	幸尾治朗, 小野孝次 矢沢健司, 塚野雄吉
TM-203	固体ロケットの比推力測定の標準化	1971年6月	五代富文, 岡部祐二郎 清水昭紀, 伊藤克弥 西村久男
TM-204	サーボ機構の過渡応答改善用ディジタルコントローラについて	1971年7月	小川鑑一, 島村正人(日本大学)
TM-205	自由飛行模型 FFM-10 の動安定微係数の推定について	1971年7月	河崎俊夫, 河本巖
TM-206	静止衛星の軌道保持シミュレーションシステムの構成(I) —地球の重力場による振動—	1971年8月	松島弘一
TM-207	対称スピンドル衛星用ニューテーション・ダンパの解析	1971年9月	村上力, 狼嘉彰
TM-208	薄板縫手構造の強度についての実験 —接着およびリベット縫手—	1971年11月	池田為治, 熊倉郁夫 竹内和之
TM-209	試作接着面応力センサの較正試験	1971年11月	大竹邦彦, 遠藤修司 野口義男
TM-210	小型加速度計による風洞模型姿勢角の測定	1971年12月	原亘利
TM-211	軽量ジェットブースト STOL の一検討	1971年12月	西村博史
TM-212	原動機部要素試験設備用消音装置の特性試験	1972年1月	鳥崎忠雄, 小林実
TM-213	フライングテストベッド空気系統試験	1972年2月	田辺義一, 小暮泰之 川崎純男
TM-214	フライングテストベッド燃料系統試験	1972年2月	田辺義一, 小暮泰之 川崎純男
TM-216	安定板を有する固体ロケットの操舵要求軽減法	1972年2月	大石晃, 山中龍夫 冠昭夫

TM-217	フライングテストベッド自動安定装置性能試験(I)一製作時性能試験一	1972年7月	小川敏雄, 甲斐忠夫 十河 弘, 増原 勝
TM-218	フライングテストベッド自動安定装置性能試験(II)一実験前性能試験一	1972年7月	小川敏雄, 甲斐忠夫 十河 弘, 増原 勝
TM-219	フライングテストベッド脚性能試験	1972年5月	渋谷昭義, 川崎純男
TM-220	フライングテストベッドテレメータ性能試験	1972年5月	小野幸一, 十河 弘 池上 博
TM-221	ロケット模型の動安定微係数の測定	1972年5月	谷喬, 高島一明 関根英夫, 中村正剛
TM-223	自由飛行模型 FFM-10 の強度について	1972年5月	河崎俊夫, 斎藤秀夫 塙武敏, 多戸田夫 林洋一, 戸田夫 日下和夫, 越出慎一 築地恒夫, 中井曇一 森田甫之, 菊池孝男 高橋実, 東久保正年
TM-224	フライングテストベッド油圧系統試験	1972年5月	藤枝郭俊, 十河弘 川崎純男, 中村公昭
TM-225	ストラップダウン方式の慣性機器誤差によって生ずる飛しよう経路誤差の一考察	1972年5月	大月正男, 新宮博 鈴木孝雄
TM-226	フライングテストベッド機体強度剛性試験	1972年7月	渋谷昭義, 丸山茂
TM-227	フライングテストベッド操縦系統試験	1972年7月	藤枝郭俊, 牧野健 川崎純男
TM-228	航空用ガスターピンの高压形燃焼器の予備実験	1972年7月	鈴木邦男, 石井浅五郎
TM-229	液体酸素中におけるころがり軸受の性能	1972年7月	宮川行雄, 関勝美
TM-230	航空用ガスターピン燃焼器における排気制御の研究(II)一現状とその検討一	1972年7月	斎藤隆, 鈴木邦男
TM-231	フライングテストベッド全機振動試験	1972年8月	渋谷昭義, 岡田典秋 丸山茂, 川崎純男
TM-232	フライングテストベッド電気系統試験	1972年9月	甲斐忠夫, 十河弘
TM-233	フライングテストベッド空気ターピン試験	1972年11月	宮本義人, 川崎純男 中村公昭, 東海林秀幸
TM-234	スピンドル燃焼試験設備による燃焼実験	1972年10月	石井進一, 岡部祐二郎 山田晃, 新岡嵩 三谷徹
TM-235	推進エンジン用空気取入口の予備実験(続報)	1972年10月	近藤博, 長谷川聰
TM-236	大型低速風洞動的量データ処理設備	1972年10月	桑野尚明
TM-237	大型低速風洞壁面効果補正要領	1972年11月	佐藤淳造
TM-238	圧力測定の時間遅れにおよぼす圧力孔の影響	1972年11月	曾我國男, 小野寺信幸
TM-239	突風風洞の気流測定について	1973年4月	高橋伸
TM-240	突風風洞での突風応答予備実験	1973年5月	松下洸, 西村博史
TM-241	カーボン複合材の強度特性	1973年6月	古田敏康, 野口義男 松嶋正道
TM-243	推力 300 kg ジンバル液体ロケットエンジンの揺動特性(II)	1973年6月	榎崎哲二, 野溝国生 荻原義千夫, 吉原正一
TM-244	ジェットノズルの箱型模型実験	1973年6月	坂口一, 近藤博 高森晋, 岩下敬吾
TM-245	コンポジット固体ロケット推進薬のボアソン比測定	1973年8月	大竹邦彦, 遠藤修司 種村利春

TM-247	ジェットエンジン低騒音化の研究 第一報 JR100H-1P ジェットエンジンの騒音特性	1973年9月	鳥崎忠雄, 小林 実 武田克巳
TM-248	自動着陸研究用テスト・リグについて	1973年10月	堀川勇壮, 小川鏡一 永安正彦
TM-249	人工衛星打上げ用ロケット・システムについての検討	1973年10月	宇宙研究グループ

~~注: 次番は配布先を限定したもの~~

航空宇宙技術研究所資料 250 号

昭和 48 年 11 月 発行

発 行 所 航 空 宇 宙 技 術 研 究 所
〒182 東京都調布市深大寺町 1880

電話武藏野三鷹 (0422) 47-5911 (大代表)

印 刷 所 有 限 会 社 啓 文 堂 松 本 印 刷
東 京 都 文 京 区 水 道 2-7-5

Printed in Japan

This document is provided by JAXA.